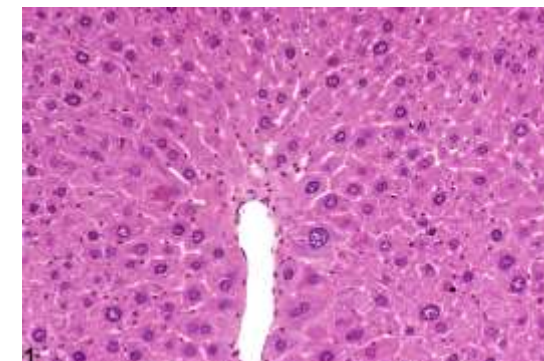
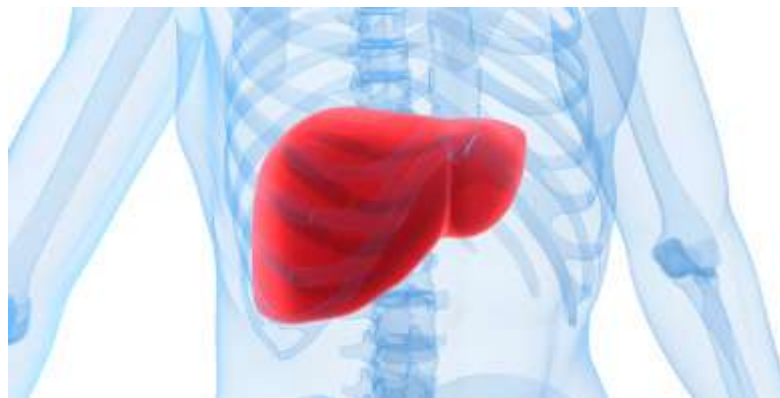


Zpracování dat a design experimentu
single cell proteomika

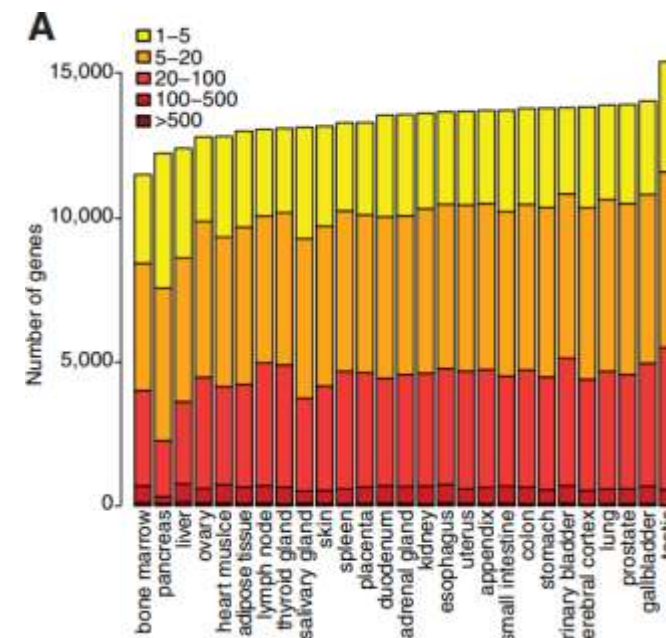
Kolik různých proteinů může být ve vzorku



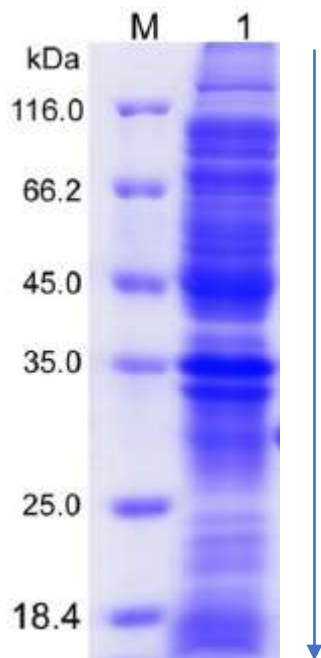
20 000
genů



V jedné tkáni je přepisováno kolem 12 000 genů



SDS gel

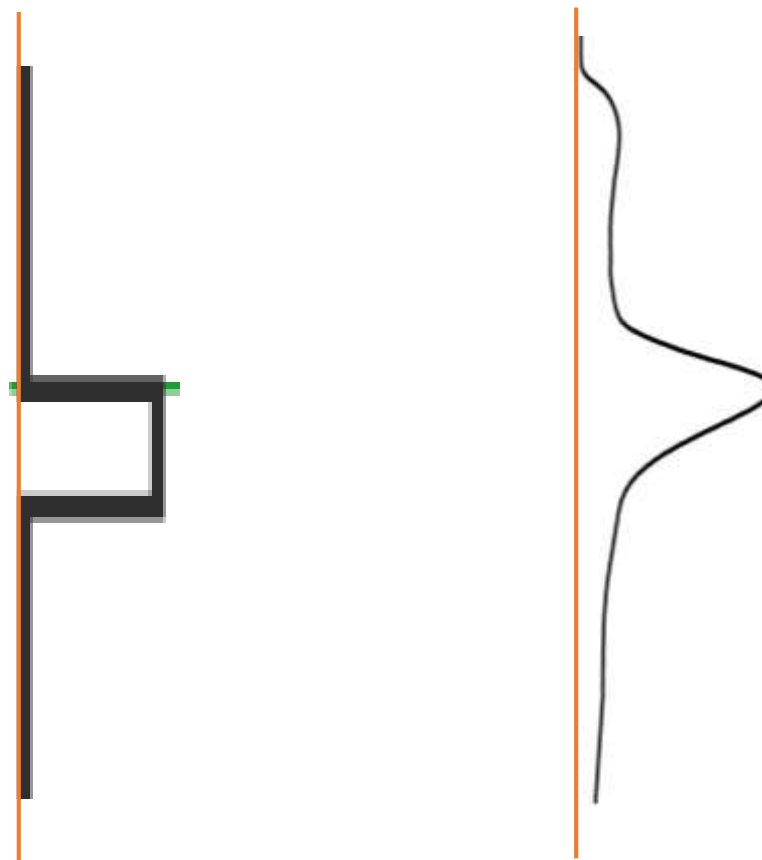


12000 proteinů

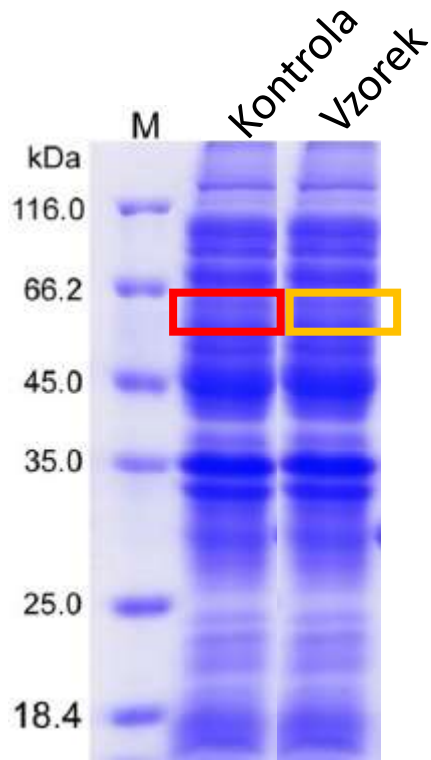


Cca 300 proteinů
Reálně však více

SDS separační profil



- Obdržíte identifikaci více než poloviny proteinů ve vzorku
- Libovolný protein bude identifikován s více než 50% pravděpodobností
- Měřit jeden vzorek, nebo jednu podmínku nemá smysl
- Vždy je potřeba porovnat stav který zkoumáte s kontrolou
- Relativní rozdíl je to co Vás zajímá



X

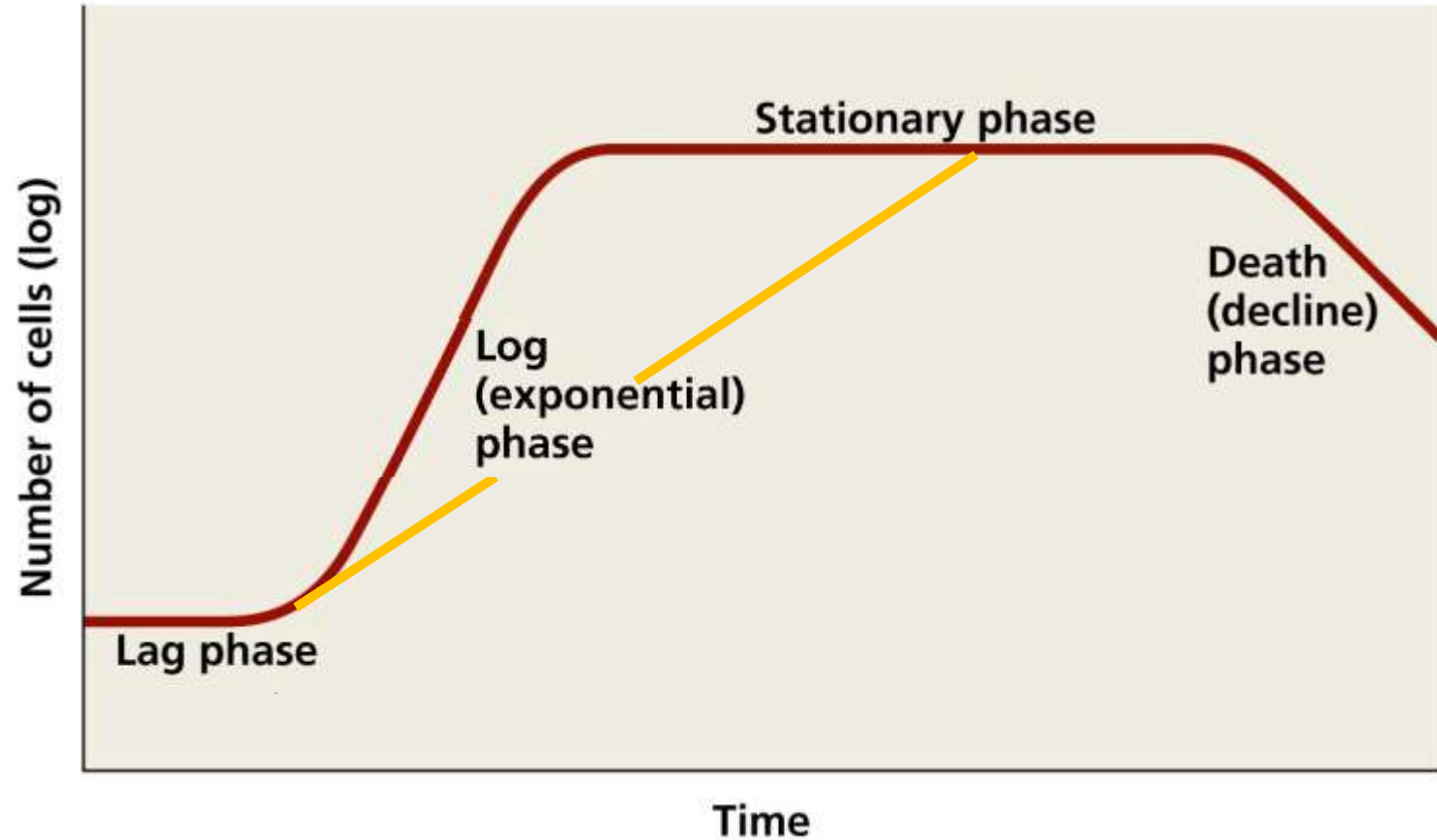


Návrh experimentu

- Definice otázky na níž hledáme odpověď
- Studium literatury pro výběr vhodné metody
- Výběr kontrol
 - Co nejvíce omezit variabilitu netýkající se položené otázky
 - Věk
 - Výživa
 - Prostředí
 - Pohlaví

Nevhodný výběr kontroly - příklad

- Bakteriální kultury
- Různá rychlost růstu kontroly a studovaného vzorku
- Odběr ve stejném čase
- Vzorek a kontrola mají různou růstovou fází



Nevhodný výběr kontroly - příklad

- Zavedení sondy pro výživu vyžaduje chirurgický zákrok
- Kontrolní myš musí též absolvovat chirurgický zákrok s podobným poškozením
- Efekt z hojení poranění je větší než efekt z rozdílné výživy



Kontrola



Vzorek

Technický vs Biologický replikát

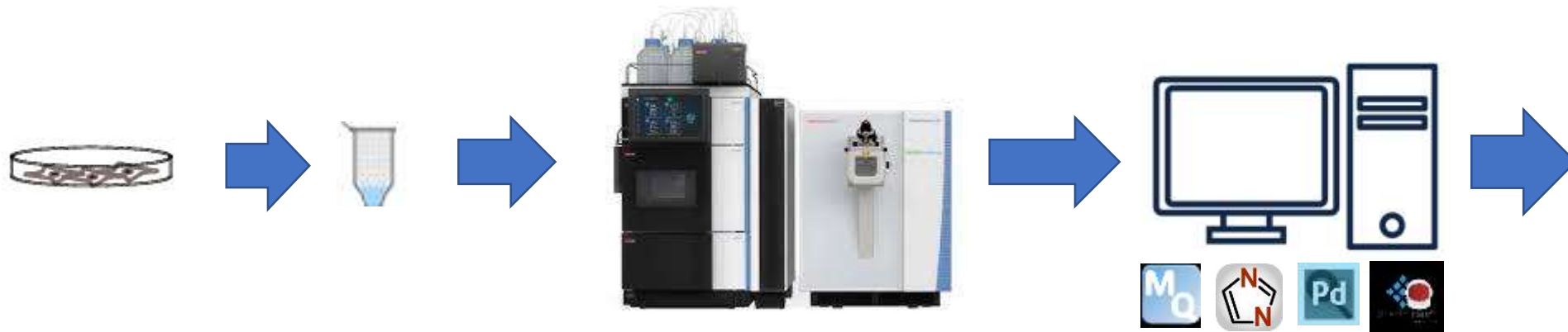
Biologický

- Člověk/živočich
- Kultivace očkované z různých konzerv
- V separátních kultivačních nádobach

Technický

- Podchytí experimentální variabilitu
- Opakovaný nástřik
- Opakovaná příprava vzorku
- Opakovaný odběr ze stejné kultivace

Zpracování dat



Type	LFQ intensity 1394-4...	LFQ intensity 1394-4...	LFQ intensity 1394-4...	LFQ intensity 1394-4...	LFQ intensity 1394-5...	LFQ intensity 1394-5...	LFQ intensity 1394-5...	LFQ intensity 1394-5...	LFQ intensity 1394-5...	C: Only identi... by site	C: Reverse	C: Potential contam...	N: Peptides	N: Razor + unique peptides	N: Unique peptides	N: Seque... covera...	N: Unique + razor	N: Unique sequen...	N: Mol. weight [kDa]	N: Q-value	N: Score	N: Intensity	N: MS/M coun
	Main	Main	Main	Main	Main	Main	Main	Main	Main	Catego...	Catego...	Catego...	Numeric	Numeric	Numeric	Numeric	Numeric	Numeric	Numeric	Numeric	Numeric	Numeric	Numeric
1	0	0	0	0	0	0	0	0	0	+		+	10	3	3	18.4	8.6	8.6	49.493	1	-2	775670...	9
2	923460...	120280...	118970...	188370...	136490...	0	121710...	144200...	127970...				2	2	2	26.4	26.4	26.4	7.9021	0	39.996	116780...	149
3	0	0	0	0	0	0	0	0	0	+		+	14	3	1	16.2	3.6	1.7	63.165	1	-2	645730...	5
4	202840...	160940...	149790...	103440...	132200...	253480...	122830...	137430...	978000...			+	3	3	3	16.5	16.5	16.5	24.409	0	13.695	179690...	431
5	539950...	528290...	172550...	384970...	211010...	519800...	207510...	303750...	342150...			+	36	32	7	71.6	66.3	21.6	51.621	0	323.31	218570...	1296
6	0	0	0	0	0	0	0	0	0	+		+	11	1	1	17.5	4	4	57.769	1	-2	5163100	1
7	8448300	0	0	0	0	0	0	0	0			+	44	3	2	59.9	6.6	3.5	60.044	0	25.478	608400...	65
8	0	0	0	0	0	0	0	0	0			+	4	4	4	24.1	24.1	24.1	22.975	0.0062...	1.8459	127900...	39
9	0	0	0	0	0	0	0	0	0			+	1	1	1	10.7	10.7	10.7	18.974	0.0011...	2.7073	6334400	1
10	304220	273070	0	315590	0	294830...	145670	0	295340			+	38	38	33	71.1	71.1	64.9	69.366	0	174.33	189110...	95

3625	0	0	0	0	0	0	0	0	0		+		3	3	3	0	0	0	126.14	0.0070...	1.7964	126440...	4
3626	5222300	3164200	0	4602800	1942300	1493100	4313500	3848000	0		+		3	3	3	0	0	0	100.23	0.0012...	2.9061	583360...	69
3627	0	0	0	0	0	204480...	0	0	0		+		4	4	4	0	0	0	102.63	0.0051...	1.8886	391180...	10
3628	0	0	0	0	0	0	0	0	0		+		6	6	6	0	0	0	93.068	0.0093...	1.6621	756120...	15
3629	2784700	0	3823500	0	0	0	0	0	0		+		6	6	6	0	0	0	95.379	0.0023...	2.5512	498340...	27
3630	0	0	1981300	0	0	0	0	0	0		+		2	2	2	0	0	0	24.84	0.0062...	1.8464	250890...	19
3631	164650...	168130...	165330...	174110...	141250...	142570...	164000...	153360...	166990...				54	54	53	75.3	75.3	75.3	75.338	0	323.31	135030...	3491
3632	154780...	170530...	148030...	178920...	120850...	123790...	161920...	146910...	136810...				8	6	6	35.2	32.4	32.4	28.261	0	63.933	288850...	285
3633	151450...	162000...	183940...	161950...	144860...	144560...	169760...	169360...	182910...				30	30	30	71.8	71.8	71.8	52.088	0	323.31	438780...	1575

Informace ve výsledcích

Identifikátory

Identifikátor z FASTA databáze

Jméno genu

Jméno proteinu

Popis proteinu

Kvalitativní ukazatele

Score Identifikace

Q value Identifikace

Počet unikátních

Počet peptidů

Data

Intezity

Identifikátor

T: Protein IDs	T: Majority protein	T: Protein names	T: Gene names	T: id	T: Fasta headers
Text	Text	Text	Text	Text	Text
P00044;P62894;CON__P62894	P00044	Cytochrome c iso-1	CYC1	53	CYC1_YEAST_YJR048W_CYC1 Cytochrome c iso-1 OS=Saccharomyces cerevisiae (str...

Kvalitativní ukazatele

matrix13	matrix14	matrix15	matrix16	matrix17	matrix18	matrix19	matrix20	matrix24	1394_export	matrix:
N: Peptides	N: Razor + unique peptides	N: Unique peptides	N: Seque... covera...	N: Unique + razor	N: Unique sequen...	N: Mol. weight [kDa]	N: Q-value	N: Score		
Numeric	Numeric	Numeric	Numeric	Numeric	Numeric	Numeric	Numeric	Numeric		
12	12	9	73.4	73.4	50.5	12.182	0	233		

N: PG.Qvalue	N: PG.Cscore	T: PG.ProteinAccessions
Numeric	Numeric	Text
0.00012773	41.5598	Q86X27
0	42.3311	P62875

Obecný postup zpracování proteomických dat

Příprava	Transformace Normalizace
Kontrola kvality	Kontrola rozložení dat a středových hodnot Kontrola podobnosti pomocí PCA
Identifikace rozdílů	Rozdělení vzorků do skupin Statistické testy a vizualizace
Příprava na interpretaci	Funkční anotace Go term analýza

Normalizace

- Dobrá praxe – normalizace na celkový protein při přípravě vzorku
- Většina používaných vyhledávacích nástrojů produkuje normalizovaná data nejčastěji je implementovaná MaxQuantLFQ normalisation
 - Předpoklad velké podobnosti vzorků na vstupu
 - Předpoklad shodného nástřiku
 - Neznormáluje příliš velké rozdíly (násobky)
- Pokud je i tak potřeba data normalizovat
 - Pravděpodobně nebyl experiment ideálně proveden
- Víceero metod – podobná efektivita
 - Globální medián
 - Loess
 - Quantile



Normalizace na median

Suma intenzit 600 700 800 800 700 600

	LFQ intensity 1-1	LFQ intensity 1-2	LFQ intensity 1-3	LFQ intensity 3-1	LFQ intensity 3-2	LFQ intensity 3-3
Type	Main	Main	Main	Main	Main	Main
Group1	ctrl1	ctrl1	ctrl1	3	3	3
1	24.5548	24.2626	24.3077	24.3901	25.7452	24.2662
2	30.8355	30.5738	30.747	30.5588	30.4589	30.5707
3	23.8336	23.8302	23.4919	23.4799	22.6654	22.599
4	22.8469	21.7399	21.9448	22.7756	22.794	22.8207
5	22.5228	22.8234	23.874	23.565	24.1907	24.1253
6	29.5208	29.2778	29.2701	29.5693	29.5607	29.3691
7	23.9238	23.695	23.4772	23.428	22.9664	23.2279

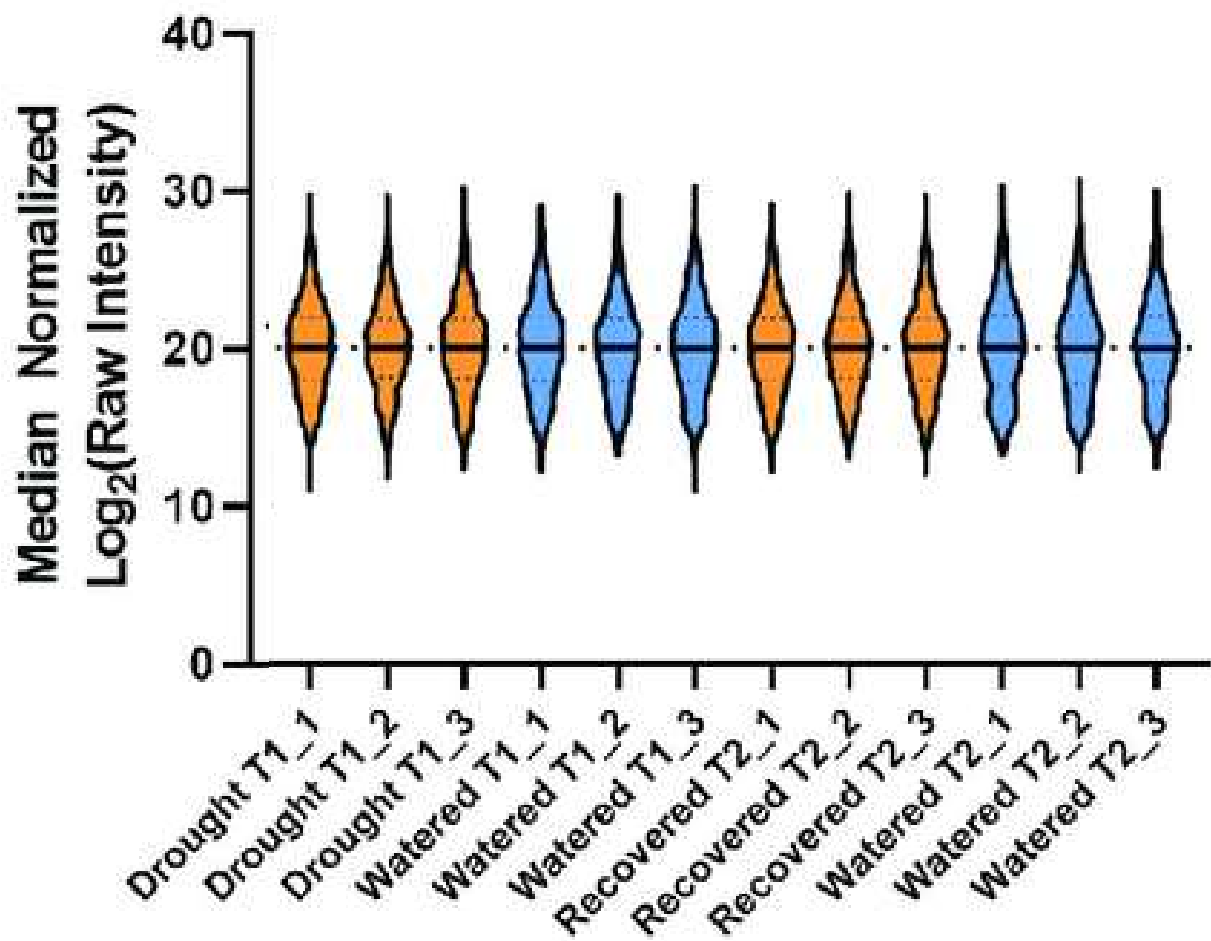
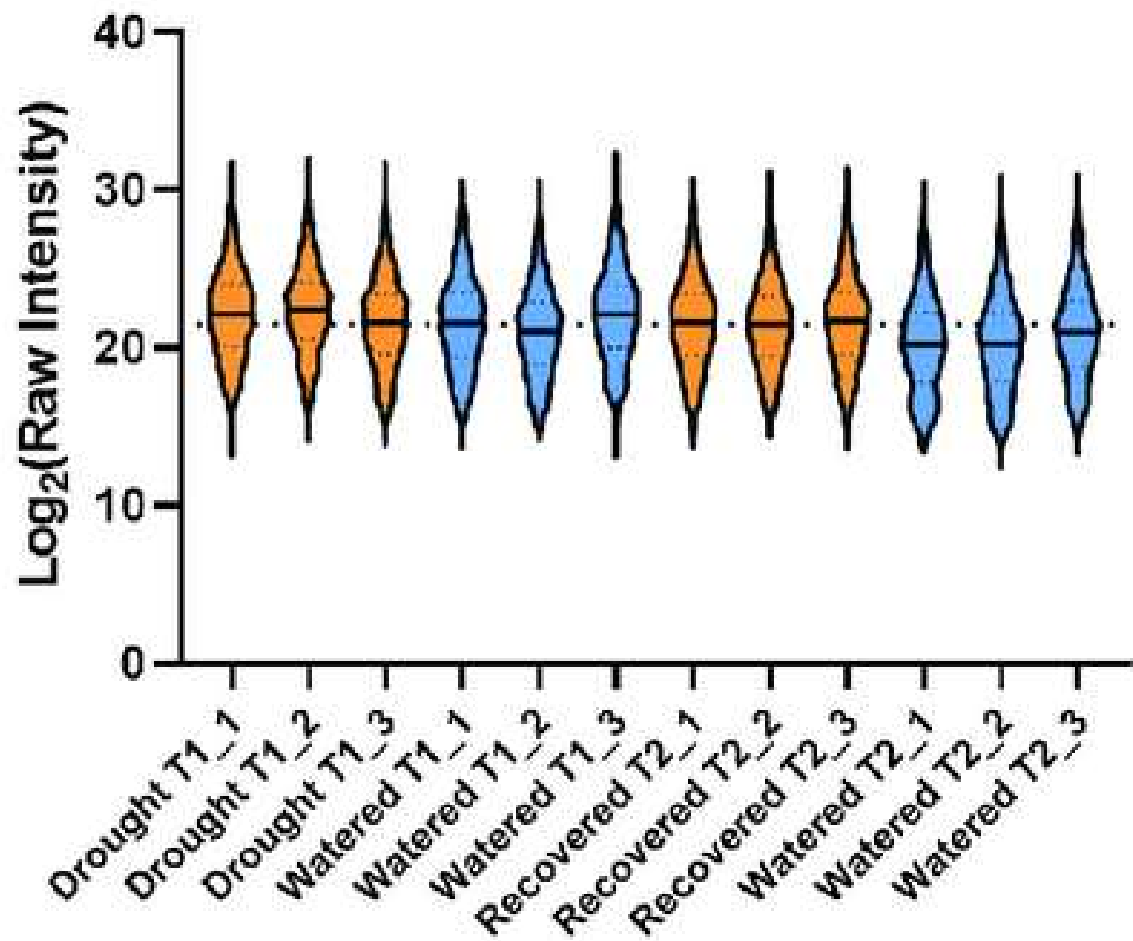
Medián 700

Suma intenzit 700 700 700 700 700 700

	LFQ intensity 1-1	LFQ intensity 1-2	LFQ intensity 1-3	LFQ intensity 3-1	LFQ intensity 3-2	LFQ intensity 3-3
Type	Main	Main	Main	Main	Main	Main
Group1	ctrl1	ctrl1	ctrl1	3	3	3
1	24.5548	24.2626	24.3077	24.3901	25.7452	24.2662
2	30.8355	30.5738	30.747	30.5588	30.4589	30.5707
3	23.8336	23.8302	23.4919	23.4799	22.6654	22.599
4	22.8469	21.7399	21.9448	22.7756	22.794	22.8207
5	22.5228	22.8234	23.874	23.565	24.1907	24.1253
6	29.5208	29.2778	29.2701	29.5693	29.5607	29.3691
7	23.9238	23.695	23.4772	23.428	22.9664	23.2279

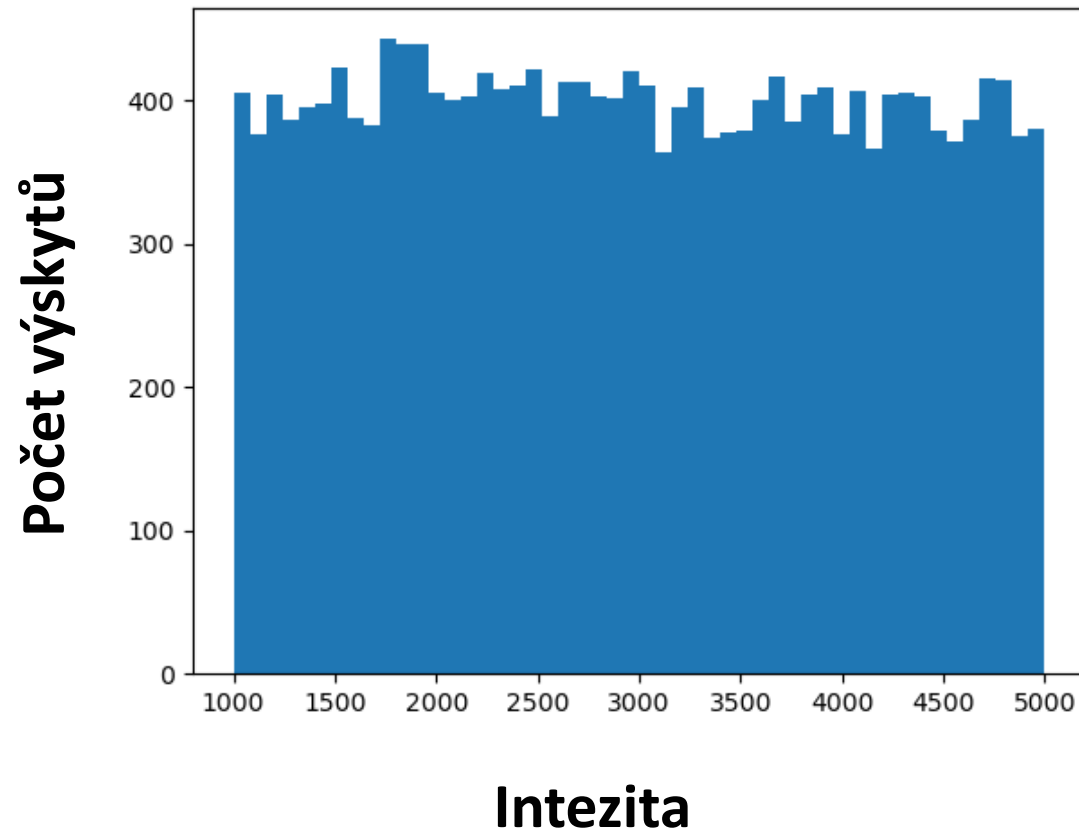


Normalizační Faktor 1,16 1 0,875 0,875 1 1,16



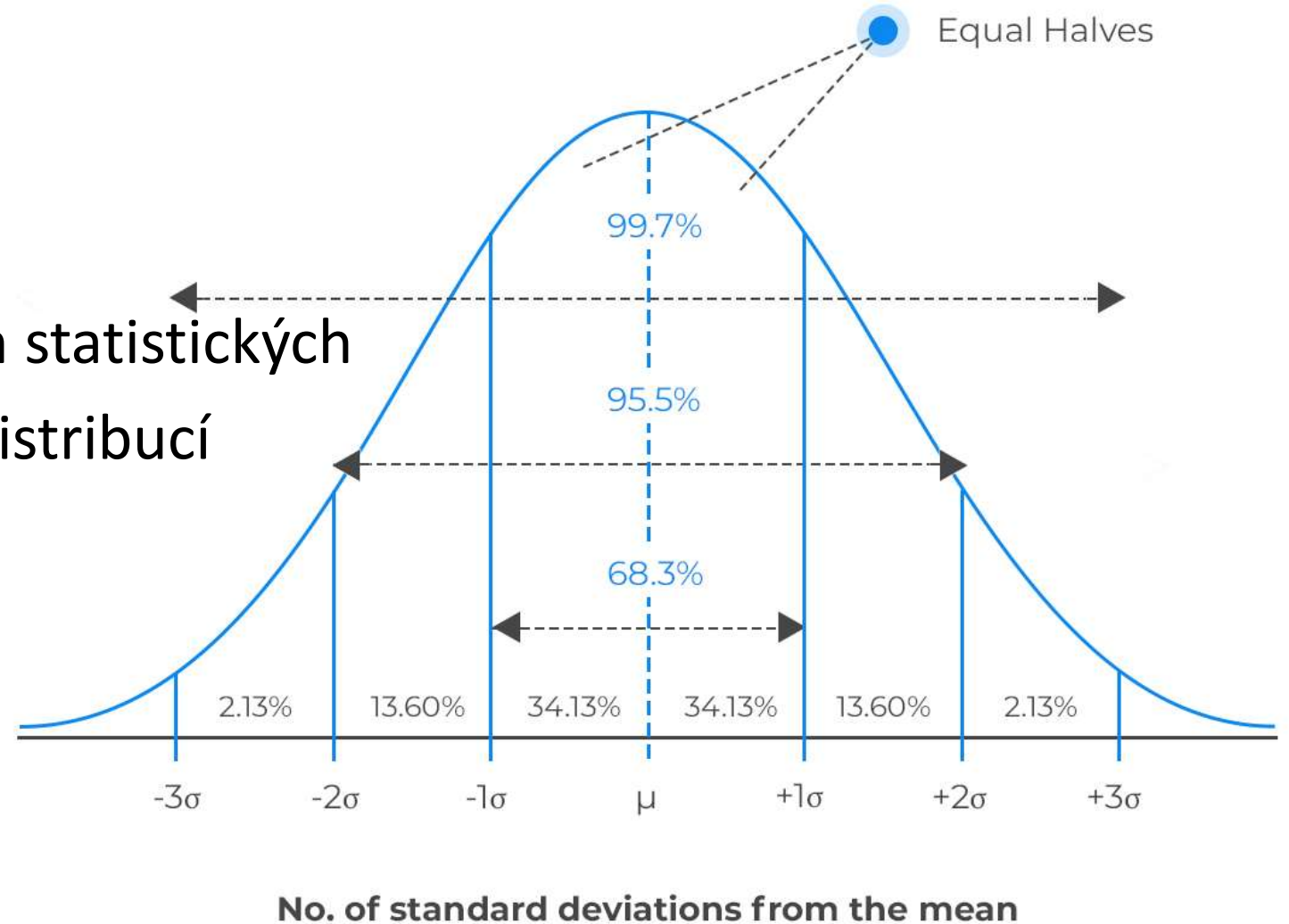
Histogram

- Typ sloupcového grafu
- Data rozdělíme na definovaný počet segmentů – binů
 - Interval mezi největší a nejmenší hodnotou rozdělíme na 50 shodných intervalů
- Vyneseme do sloupce počet hodnot spadajících do každého intervalu

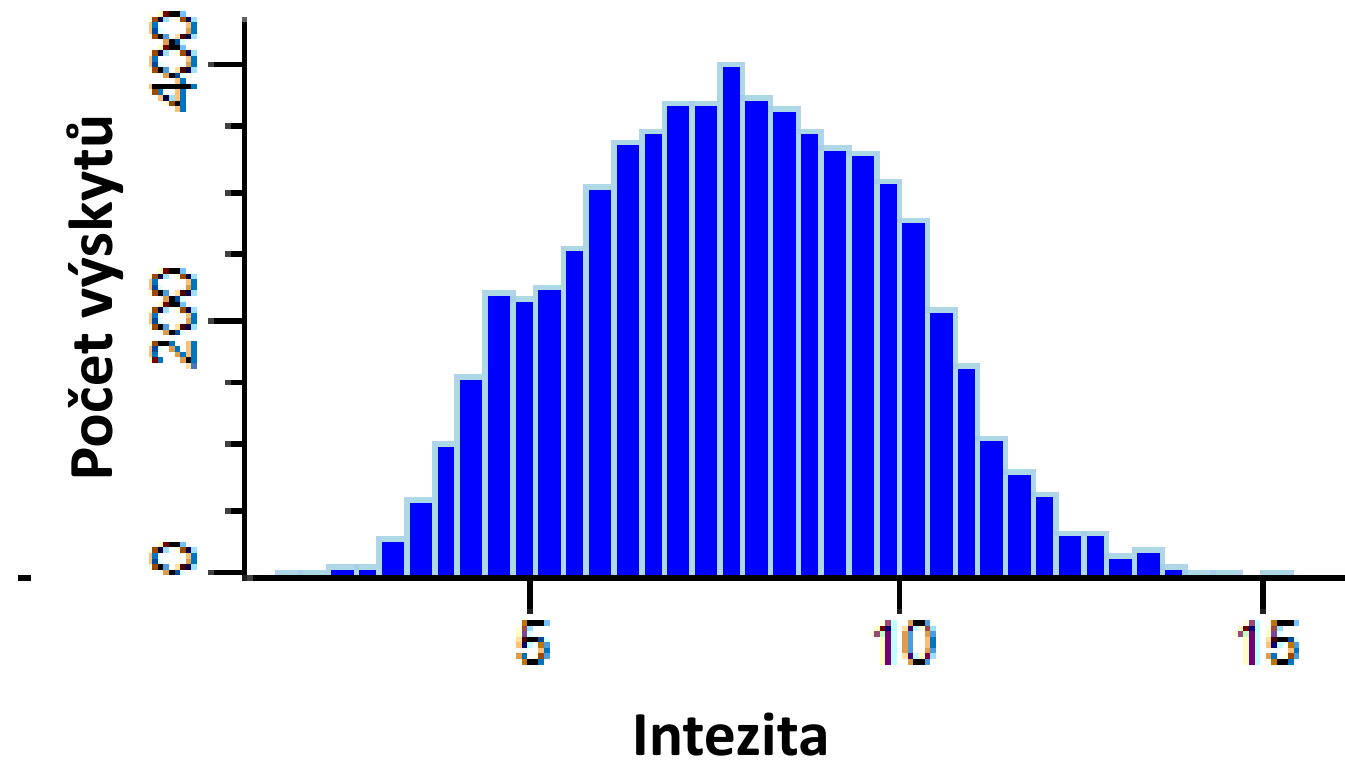


Gausovská distribuce (Normální distribuce)

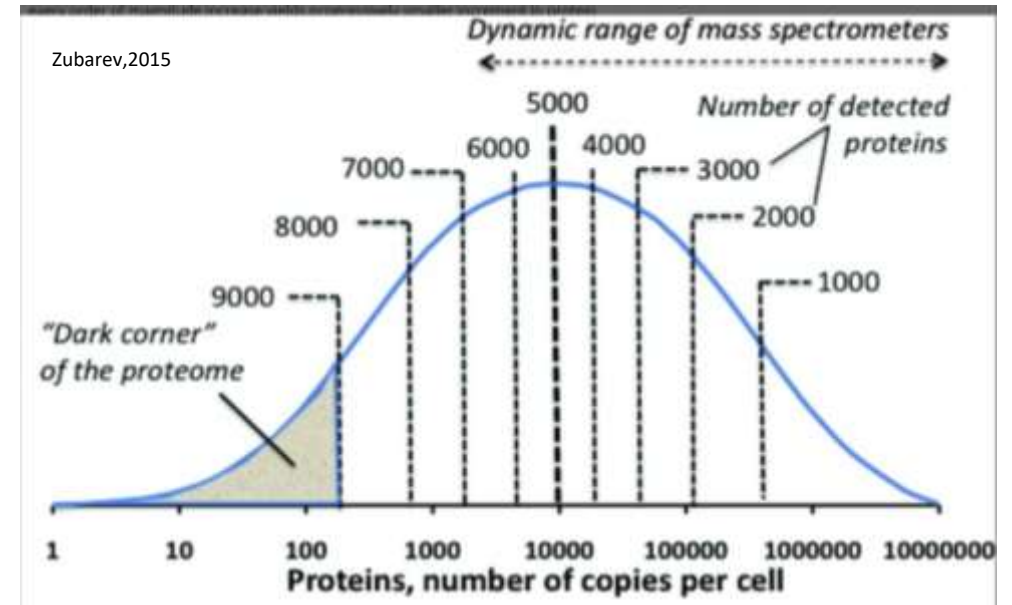
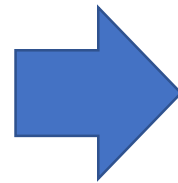
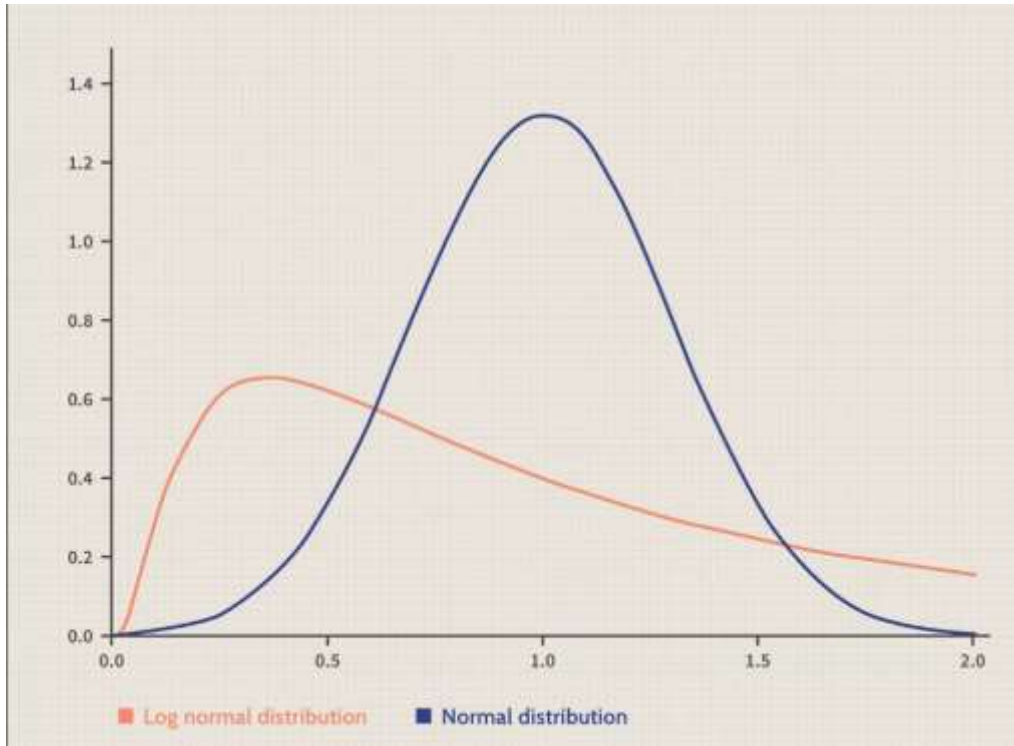
- Častá u přírodních jevů
- Biologická data
 - Výška v populaci
 - Proteomická data
- Správná funkce parametrických statistických metod je podmíněna normální distribucí

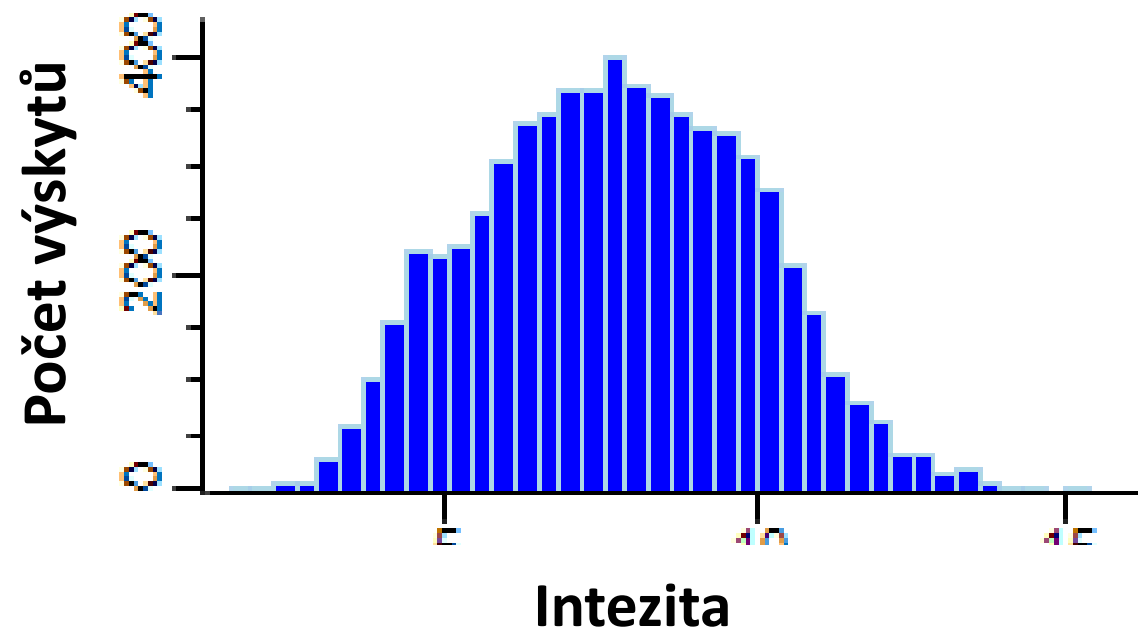
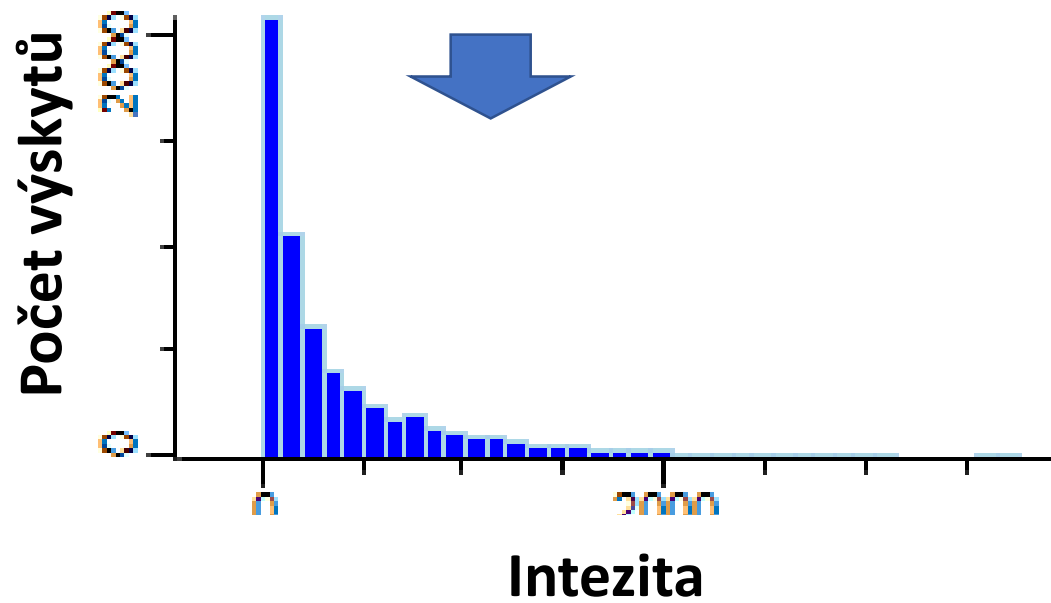
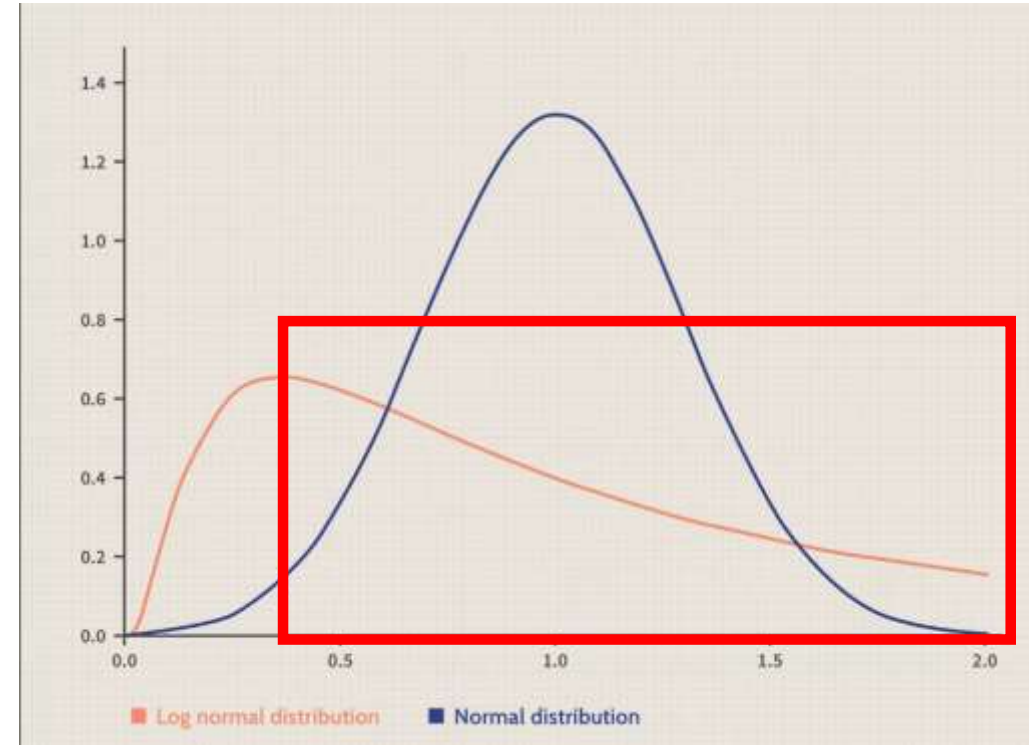


- Vizualizace rozdělení dat
 - Lze tak ověřit distribuci dat
 - Kontrola středové hodnoty dat



Lognormální distribuce





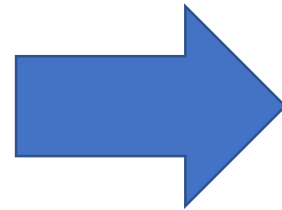
Metody redukující dimenzionalitu dat

PCA - *Principal Component Analysis*

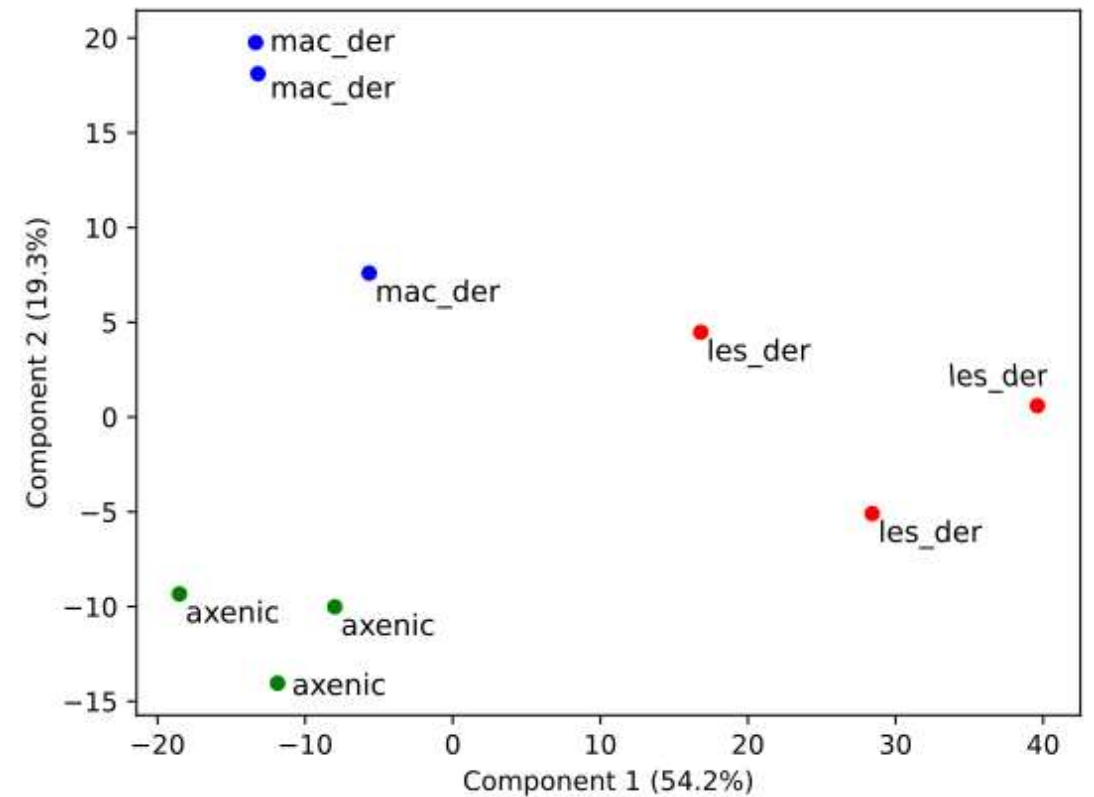
Analýza hlavních komponent

Principal Component Analysis, PCA

	LFQ intensity 1-1	LFQ intensity 1-2	LFQ intensity 1-3	LFQ intensity 3-1	LFQ intensity 3-2	LFQ intensity 3-3
Type	Main	Main	Main	Main	Main	Main
Group1	ctrl1	ctrl1	ctrl1	3	3	3
1	24.5548	24.2626	24.3077	24.3901	25.7452	24.2662
2	30.8355	30.5738	30.747	30.5588	30.4589	30.5707
3	23.8336	23.8302	23.4919	23.4799	22.6654	22.599
4	22.8469	21.7399	21.9448	22.7756	22.794	22.8207
5	22.5228	22.8234	23.874	23.565	24.1907	24.1253
6	29.5208	29.2778	29.2701	29.5693	29.5607	29.3691
7	23.9238	23.895	23.4772	23.428	22.9664	23.2270



	LFQ intensity 1-1	LFQ intensity 1-2	LFQ intensity 1-3	LFQ intensity 3-1	LFQ intensity 3-2	LFQ intensity 3-3
4434	28.3192	28.4554	28.4873	28.3725	28.7116	28.4981
4435	22.62	22.7617	22.825	22.5495	22.5323	22.5352
4436	25.6781	26.0049	25.7859	25.5292	25.8811	25.7345
4437	23.0281	23.7413	23.3013	23.1111	23.1813	22.3912
4438	25.2451	25.5161	25.3303	25.624	25.3515	25.2891
4439	22.3205	22.1204	22.2094	24.0372	23.4178	23.0194



PCA využití

- Metoda převede tisíce hodnot do x a y koordinátů
- Hledá to v čem jsou vzorky podobné
- Pozice v dvourozměrném prostoru popisuje podobnost vzorků
- Využití pro posouzení separace skupin vzorků
- Identifikaci odlehlých vzorků

Obecný postup zpracování proteomických dat

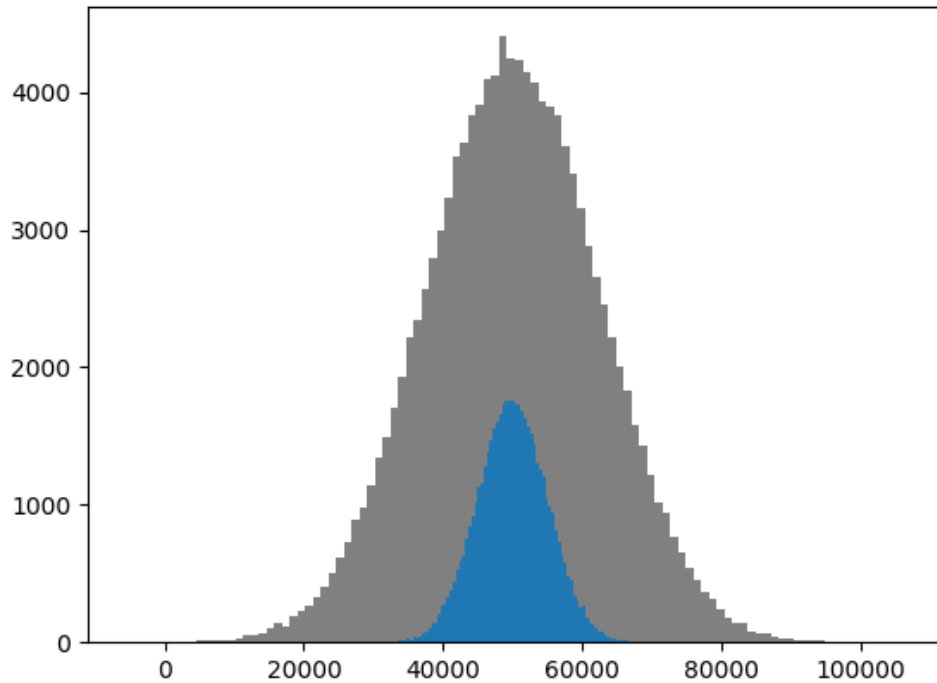
Příprava	Logaritmování Filtrování Normalizace
Kontrola kvality	Kontrola rozložení dat a středových hodnot Kontrola podobnosti pomocí PCA
Identifikace rozdílů	Rozdělení vzorků do skupin Statistické testy a vizualizace
Příprava na interpretaci	Funkční anotace Go term analýza

Statistické testování

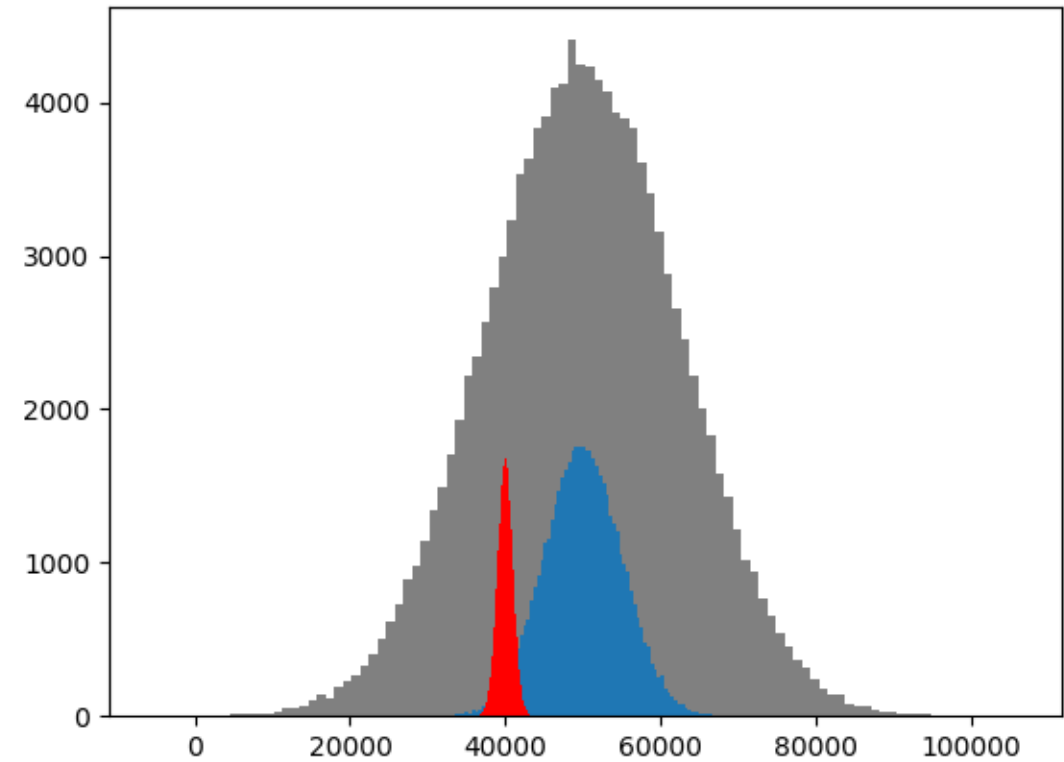
Měřením se snažíme zachytit realitu
Jak ta realita vypadá?

- Každý protein má v populaci normální distribuci

Ta může mít velký rozptyl



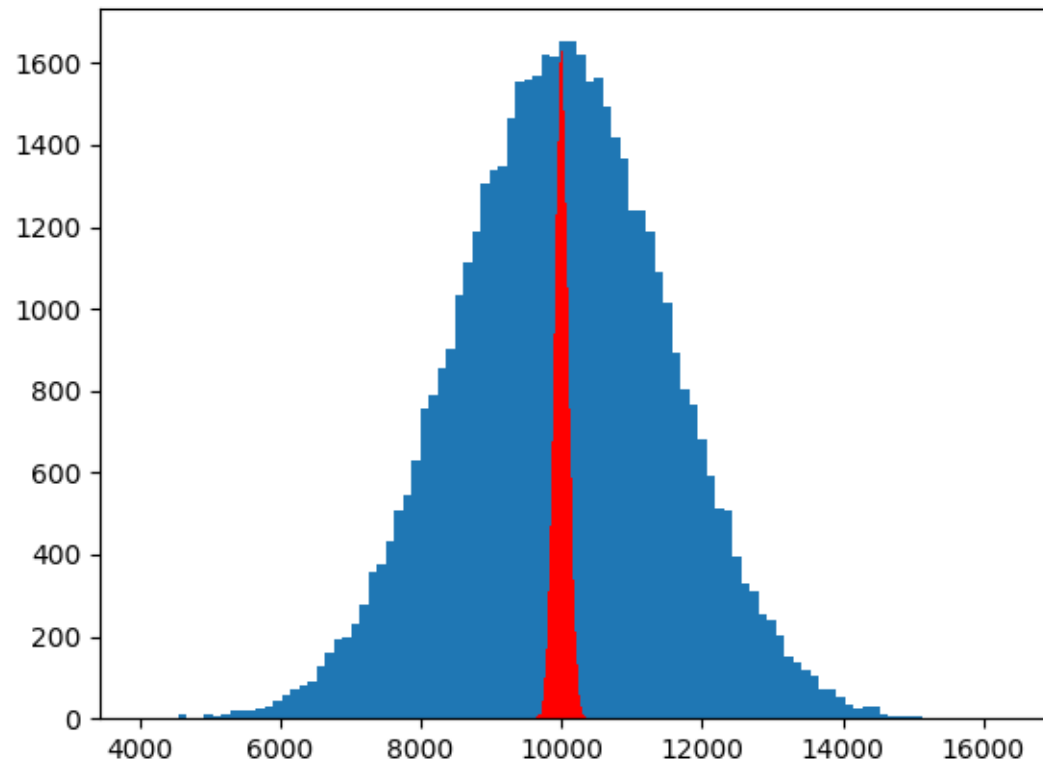
Ta může mít malý rozptyl



Měřením se snažíme popsat tuto distribuci

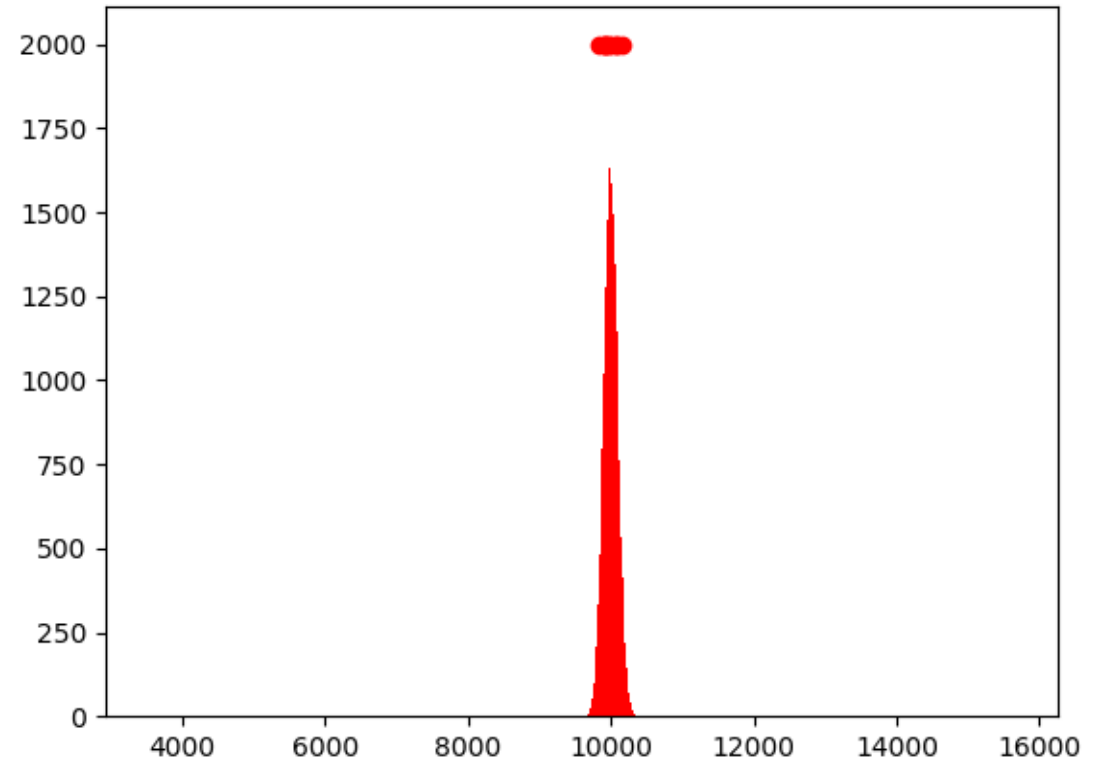
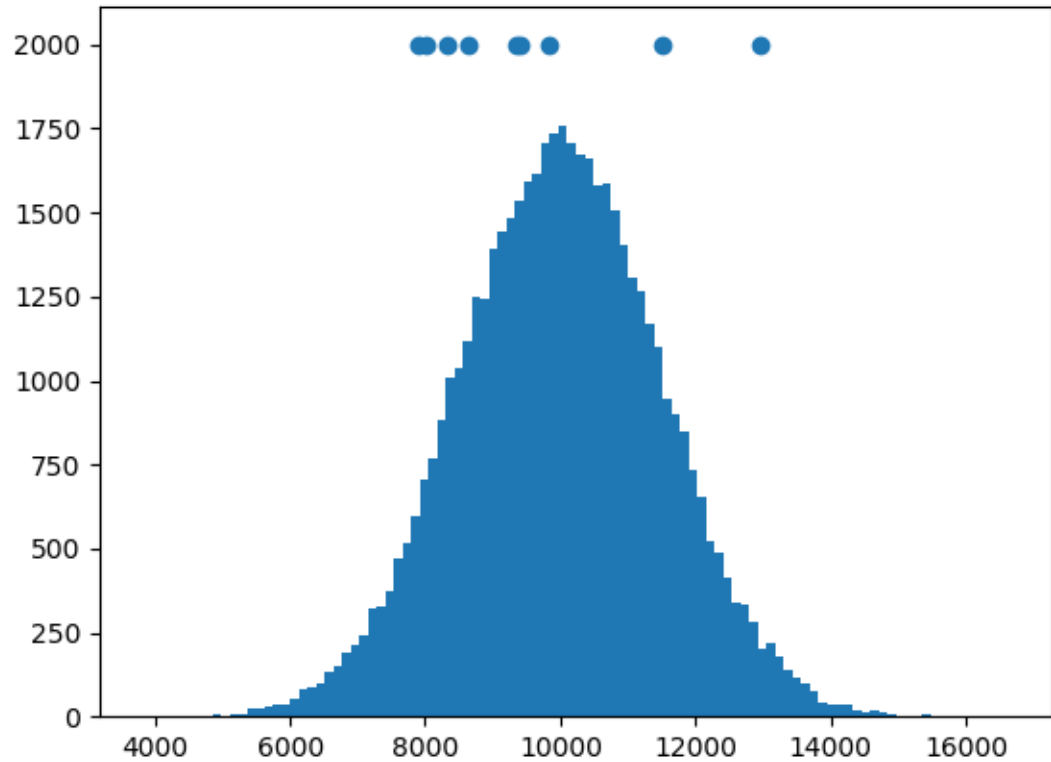
Charakteristika distribuce

- Průměr
- Směrodatná odchylka



Sběr dat

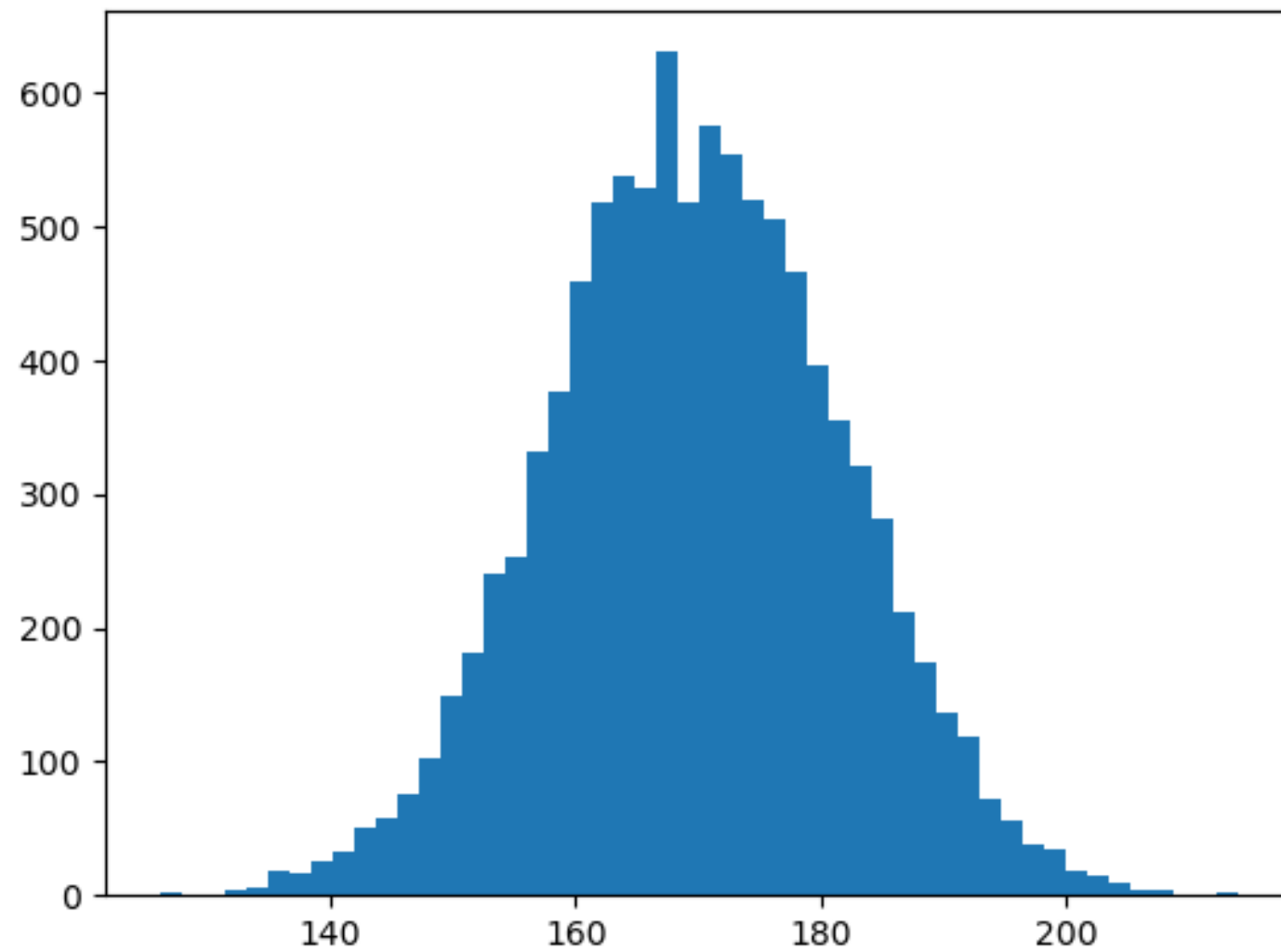
- Omezený počet měření



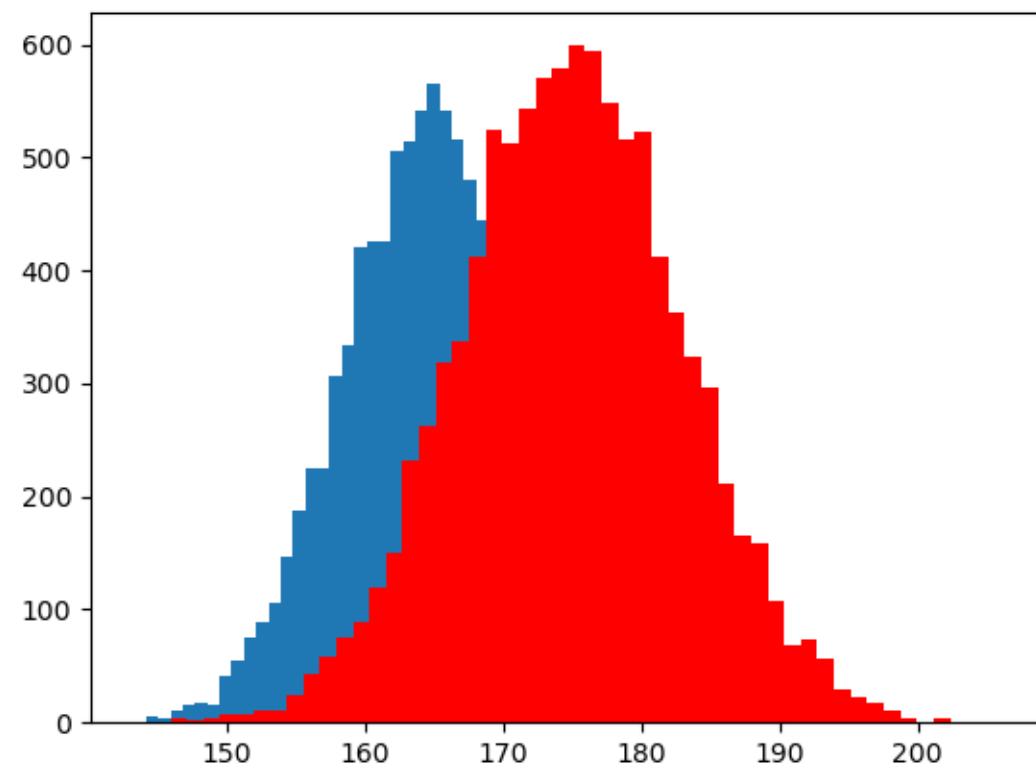
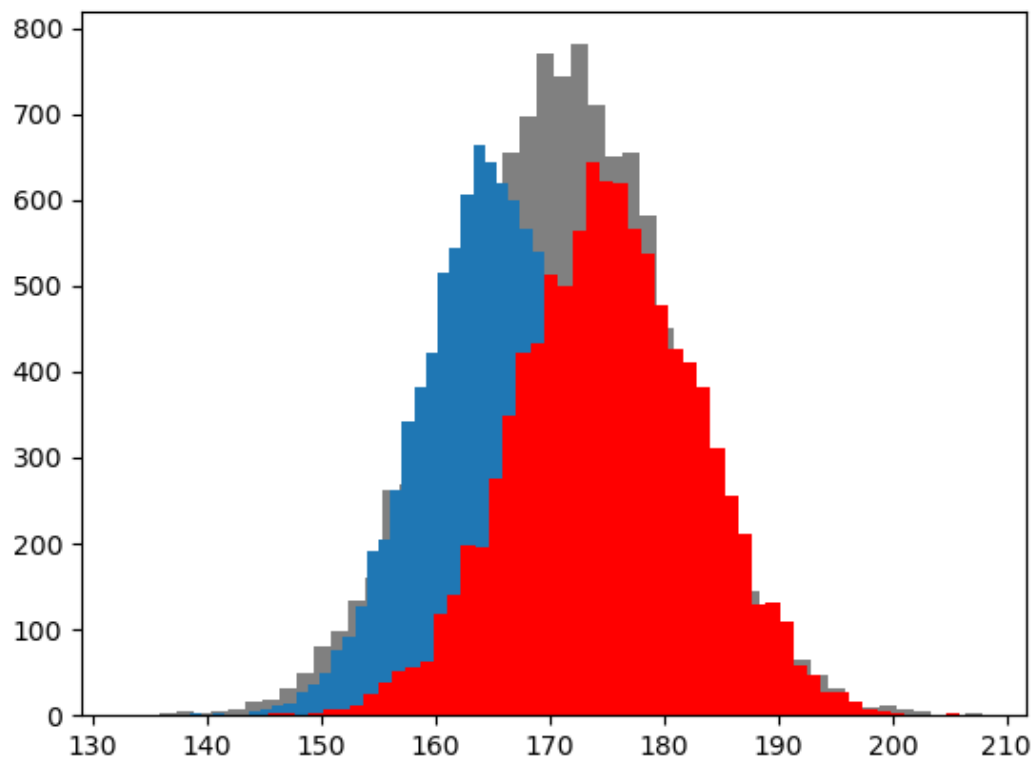
Statistické testy

- Experiment se snaží odpovědět na otázku jak se od sebe liší kontrola a vzorek
- Statistické testy umí vyvrátit nulovou hypotézu

Populace výška



- Modrá - Ženy ČR – 165cm průměr, směrodatná odchylka 6,5cm
- Červená - Muži ČR – 175cm průměr, směrodatná odchylka 8 cm
- Šedá - celá populace
- Nulová hypotéza – není rozdíl mezi výškou žen a mužů
 - Všechny naměřené hodnoty pocházejí z jedné a té samé distribuce

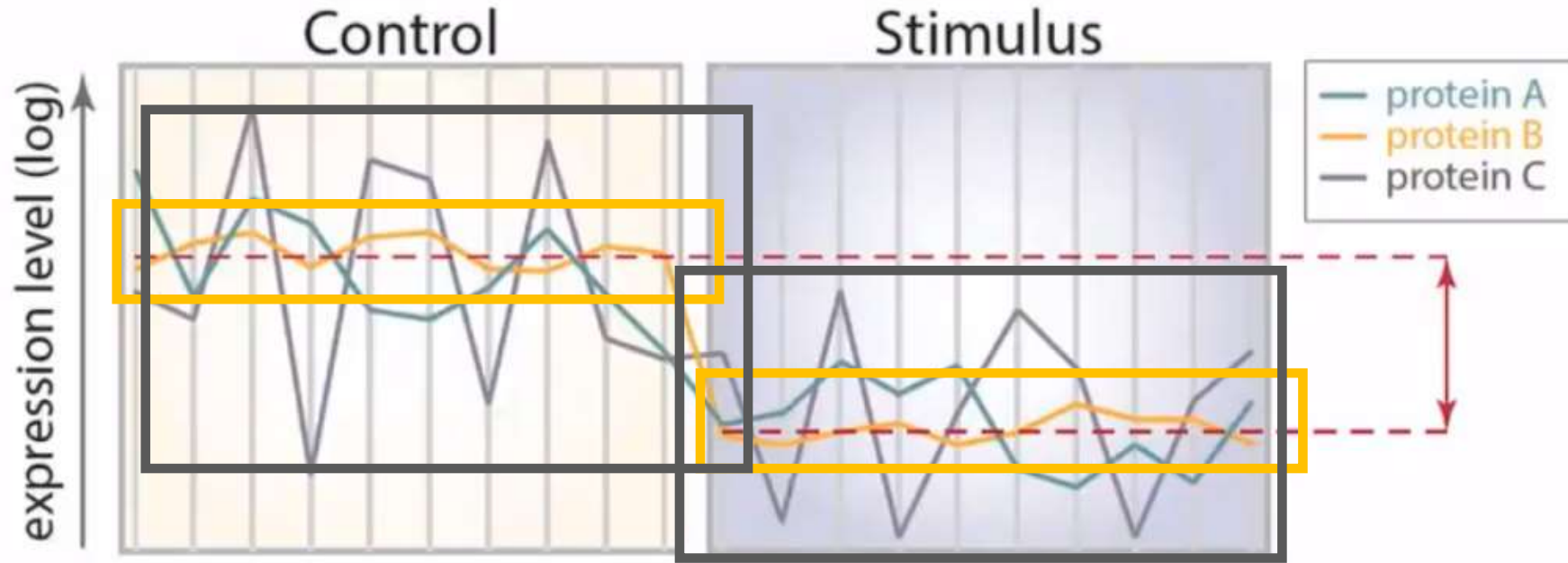


pValue

Hodnota pravděpodobnosti s jakou dostaneme stejnou nebo extrémnější distribuci dat náhodně

Hodnoty jsou v intervalu 0 až 1

1=100%



Relativní poměr proteinů je stejný

Statistická významnost je však jiná
pValue

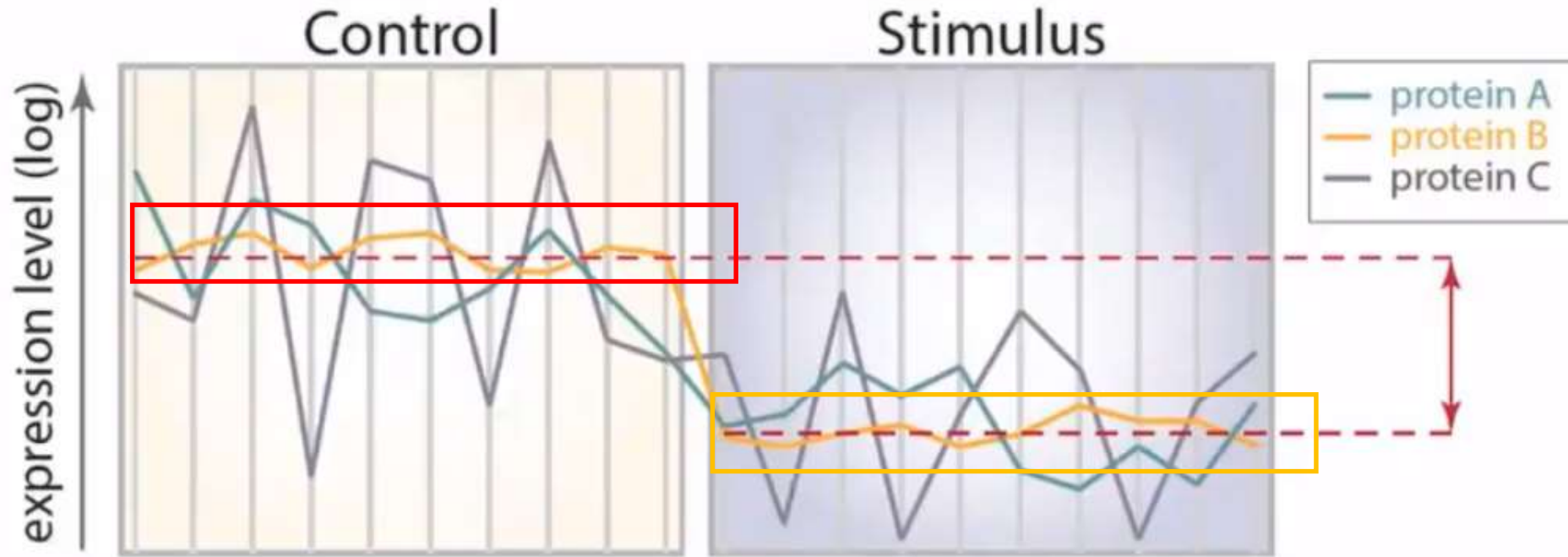
Univerzální hodnota pro více statistických testů

Není však jejich přímým výsledkem

Výsledek testu se přepočítává na pValue

0,05 -> 5%

Student T test pro proteomická data



$$t = \frac{\bar{x}_1 - \bar{x}_2}{\sqrt{\frac{s_1^2}{n_1} + \frac{s_2^2}{n_2}}}$$

T score – vyjadřuje podobnost dvou skupin

Bezrozměrná hodnota

Vysoká hodnota znamená že jsou rozdílné

Nízká hodnota znamená že jsou podobné

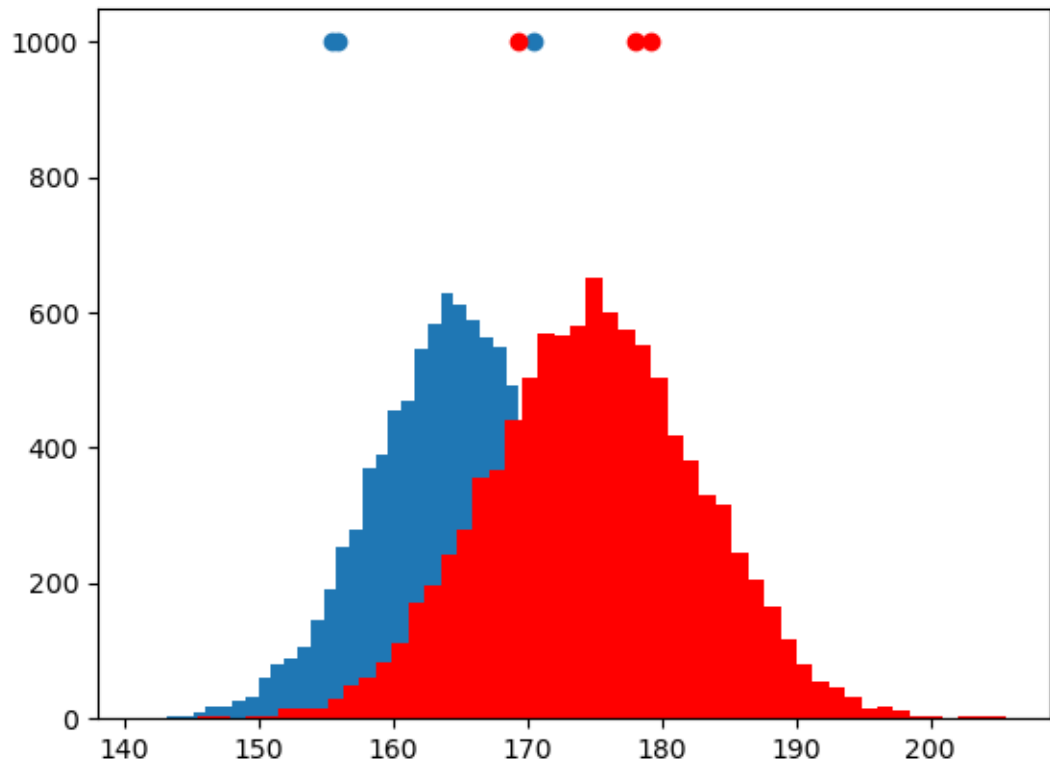
Student T test -> pValue

- Zadává se T score a počet stupňů volnosti (počet vzorků)
- Ručně je možné použít převodní tabulku (t distribution table)

Degrees of freedom (<i>df</i>)	.2	.15	.1	.05	.025	.01	.005	.001
1	3.078	4.165	6.314	12.706	25.452	63.657	127.321	636.619
2	1.886	2.282	2.920	4.303	6.205	9.925	14.089	31.599
3	1.638	1.924	2.353	3.182	4.177	5.841	7.453	12.924
4	1.533	1.778	2.132	2.776	3.495	4.604	5.598	8.610
5	1.476	1.699	2.015	2.571	3.163	4.032	4.773	6.869
6	1.440	1.650	1.943	2.447	2.969	3.707	4.317	5.959
7	1.415	1.617	1.895	2.365	2.841	3.499	4.029	5.408
8	1.397	1.592	1.860	2.306	2.752	3.355	3.833	5.041
9	1.383	1.574	1.833	2.262	2.685	3.250	3.690	4.781
10	1.372	1.559	1.812	2.228	2.634	3.169	3.581	4.587

- Mnoho online kalkulátorů
- Excel funkce T.TEST vrací přímo pValue

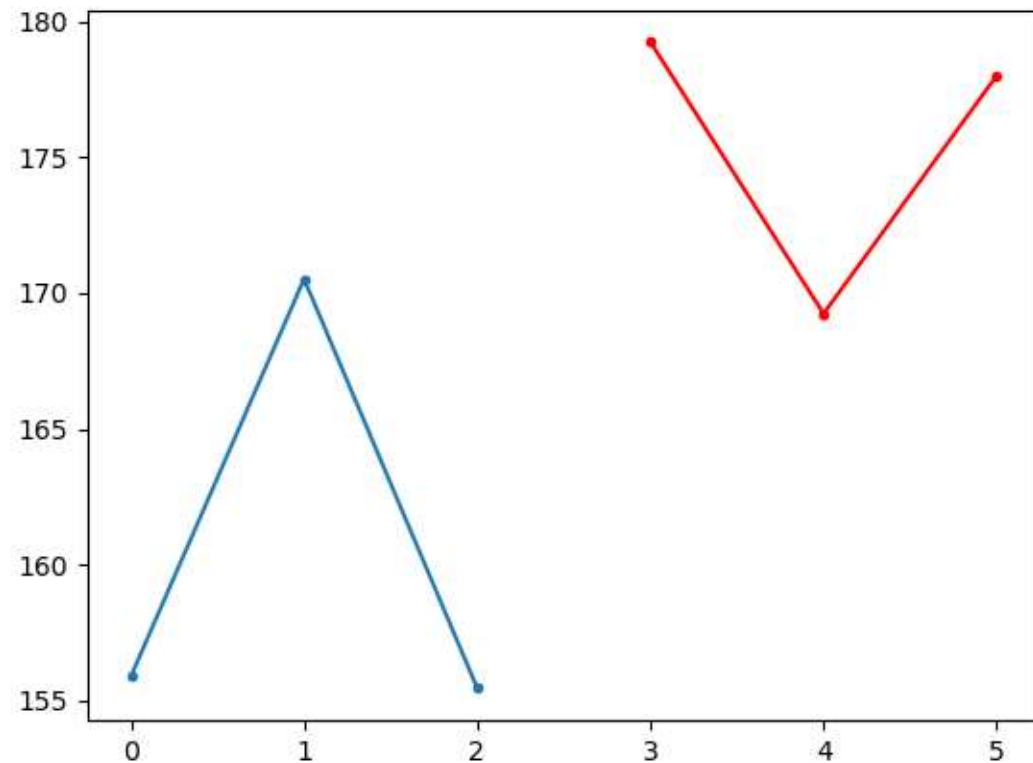
3 vzorky na skupinu



160.61

175.48

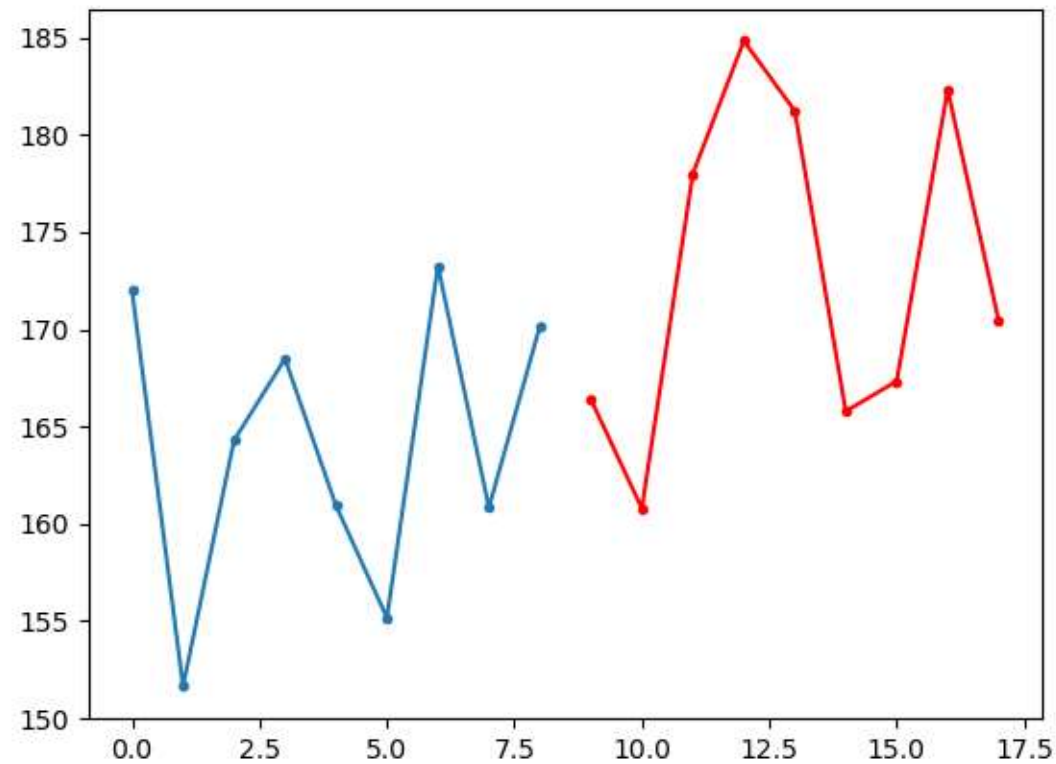
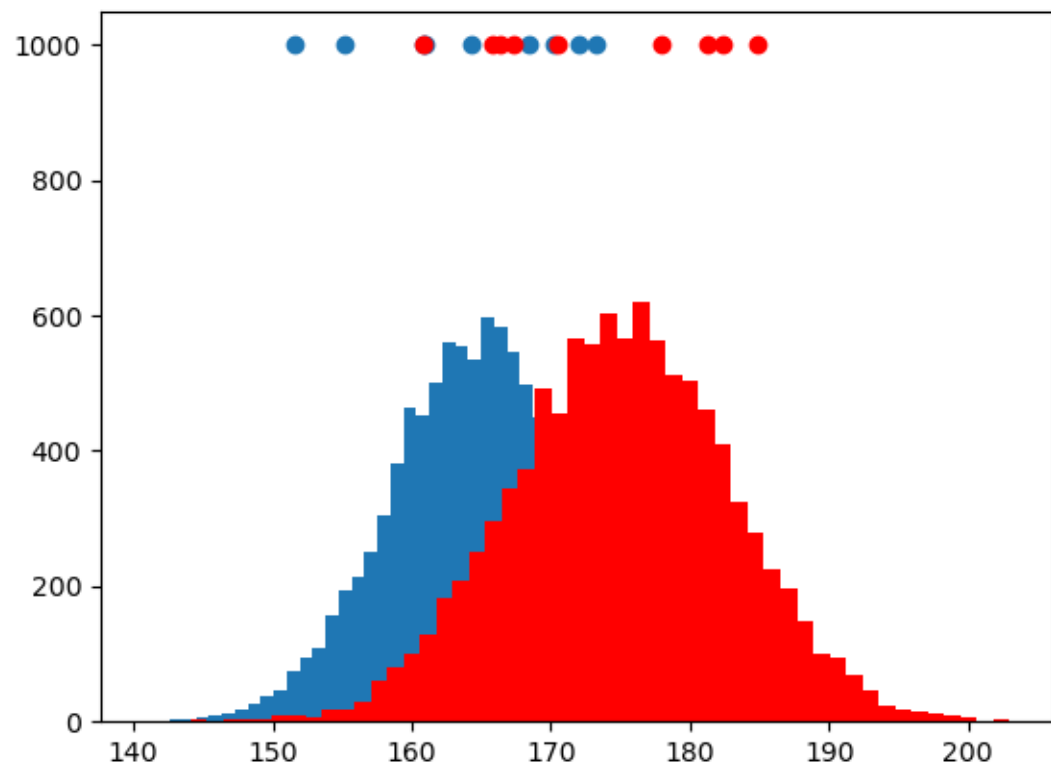
pvalue=0.064



Ze sta provedených měření
20% výběrů uspělo



9 vzorků na skupinu



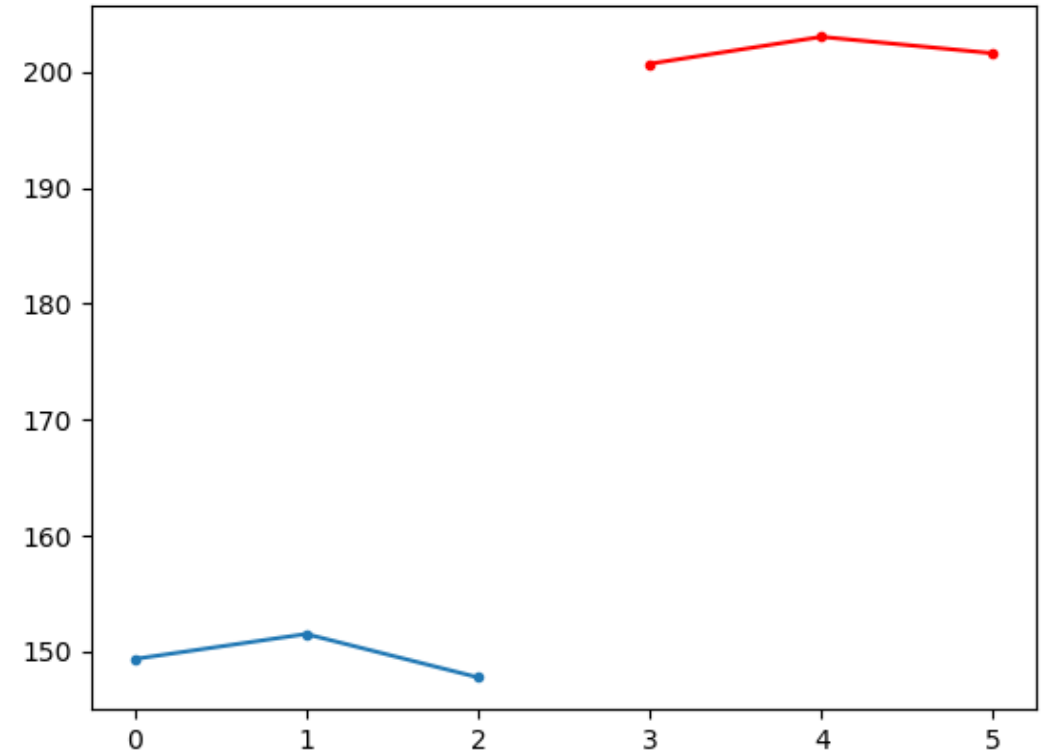
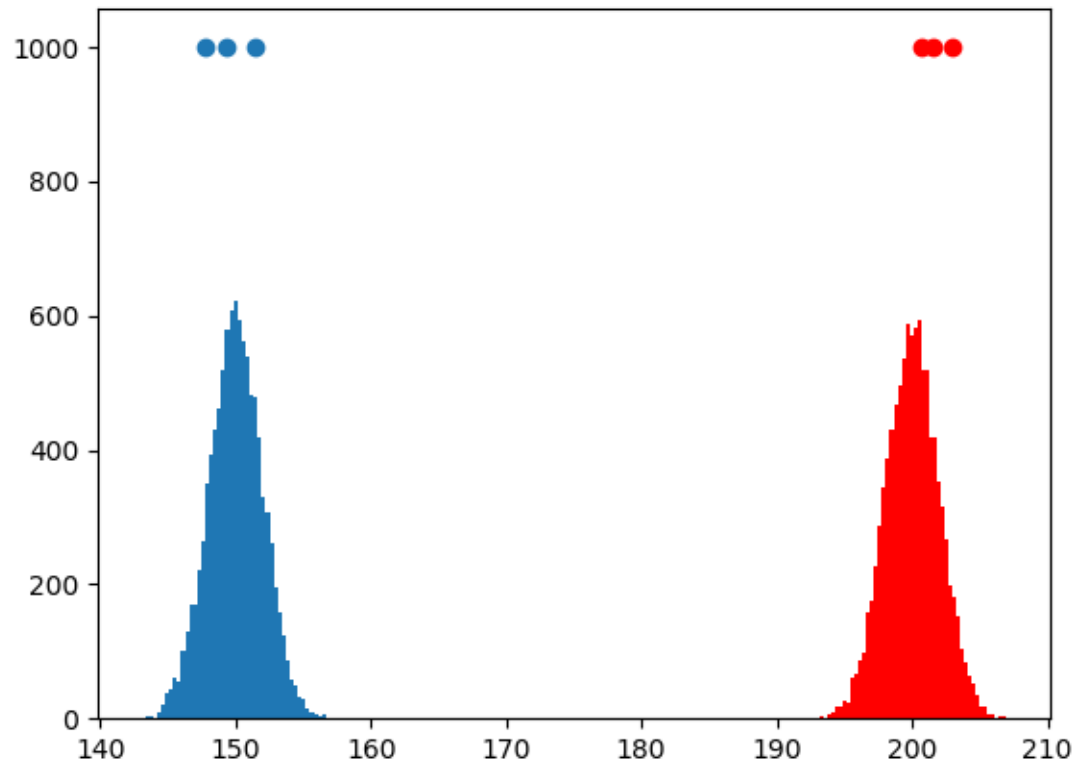
164.08

173.00

pvalue=0.033

Ze sta provedených měření
81% výběrů uspělo





149.54
201.75

pvalue= 0.000002

Ze sta provedených měření
100% výběrů uspělo



Kolik pozorování potřebuji na rozpoznání dvou distribucí - > Stanovení síly testu

- Různé on line kalkulátory
- https://onlinestatbook.com/2/calculators/power_calc.html
- Známe rozdíl průměrů
- Známe směrodatnou odchylku
- Známe hladina significance 0,05
- Kalkulátor spočítá v kolika % testů zamítneme nulovou hypotézu
- Cílíme na 0,8 - > 80%
-

Praxe

- Ve většině případů se měří tři hodnoty
 - Stačí pro výpočet pValue (t-Test)
 - Vzácnost vzorku
 - Časové
 - Finanční
 - Cena přípravy vzorku
 - Cena měření
 - Často to stačí
 - Kromě situací kdy to nestačí
 - Po změření už nelze napravit
- Při plánování velkých experimentů má smysl se nad možností výpočtu alespoň zamyslet

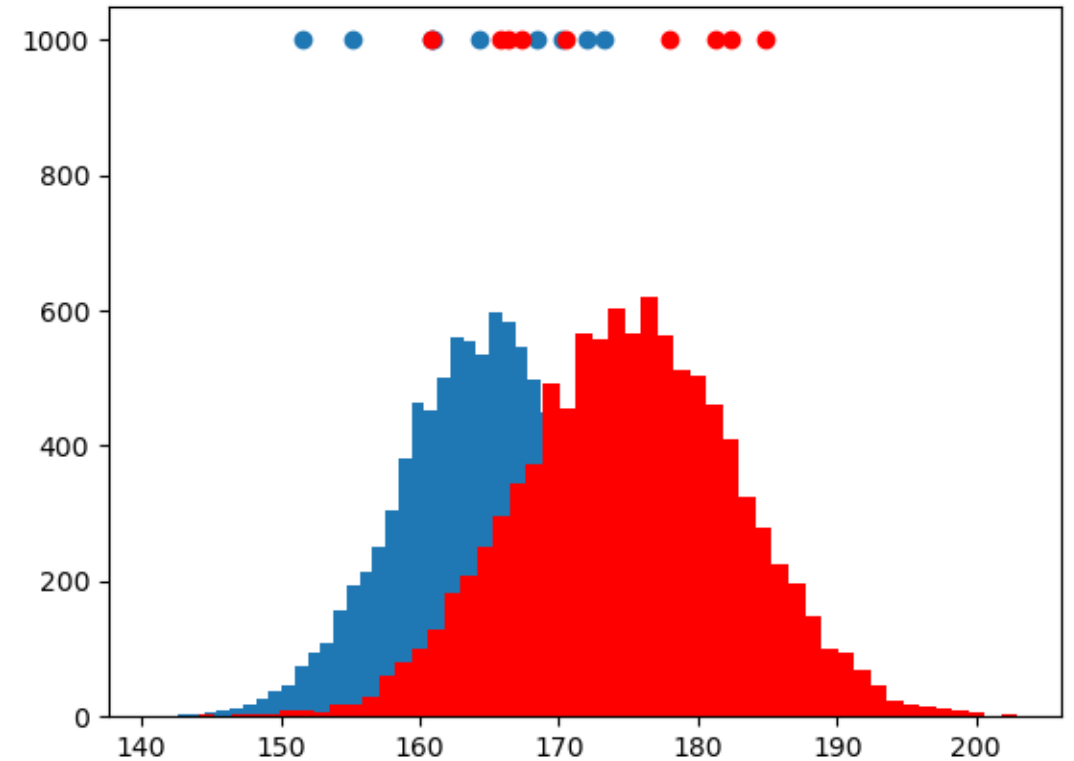
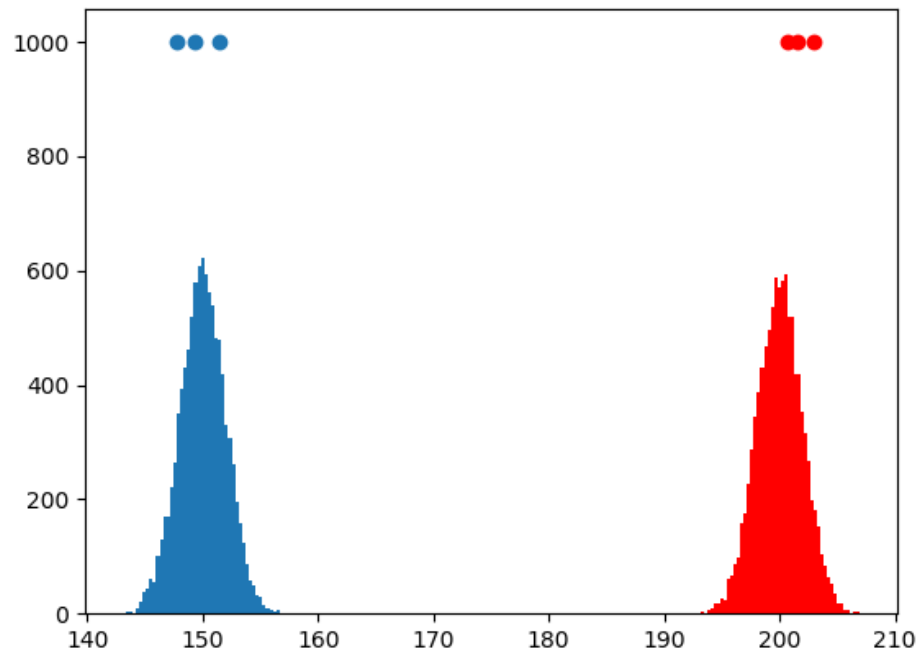
Počty vzorků - příklady

Orientační počty založené na zkušenostech v naší laboratoři – doporučujeme našim uživatelům*

- Imbrední myš
 - Shodný věk, pohlaví a podmínky chovu
 - Více než 3 vzorky (5-6) je dobré
- Divoká myš
 - 5 a více vzorků
- Immunoprecipitace
 - 3 jsou dostatečné
- Buněčná linie
 - 3 jsou dostatečné
- Fosfoproteomika z buněčné linie
 - 5 a více replikátů
- Lidská séra
 - Desítky budou málo

*jedná se o subjektivní názor

- Hodnoty do výpočtu získáme
 - Pilotního měření
 - Odvodit z volně dostupných dat
 - Proteomické experimenty v repozitáři
 - Literatury
 - Kvalifikovaného odhadu



Coeficient of variation - Variační koeficient CV

- Udává jaký rozptyl dostaneme při opakovaném měření identického vzorku
- Kvalitativní metrika analytické metody

$$\frac{\text{Směrodatná odchylka}}{\text{průměr}} * 100 = \text{CV\%}$$

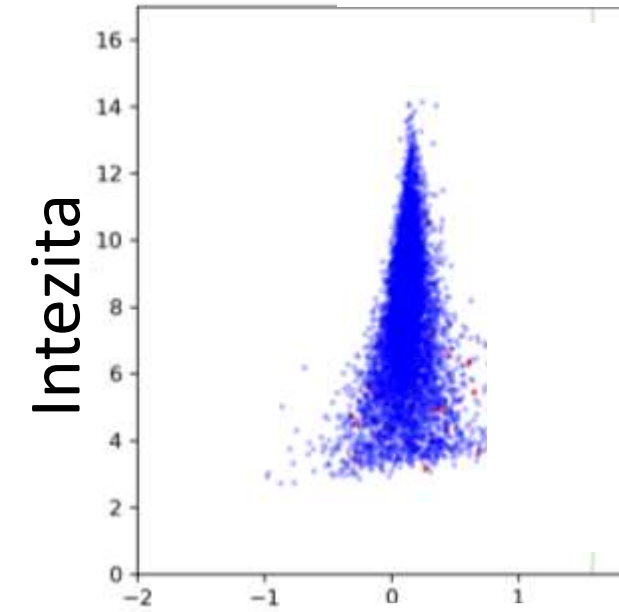
Příklad

Získané hodnoty
90,100,110

Průměr 100, Směrodatná odchylka 8.1, CV=8.1%

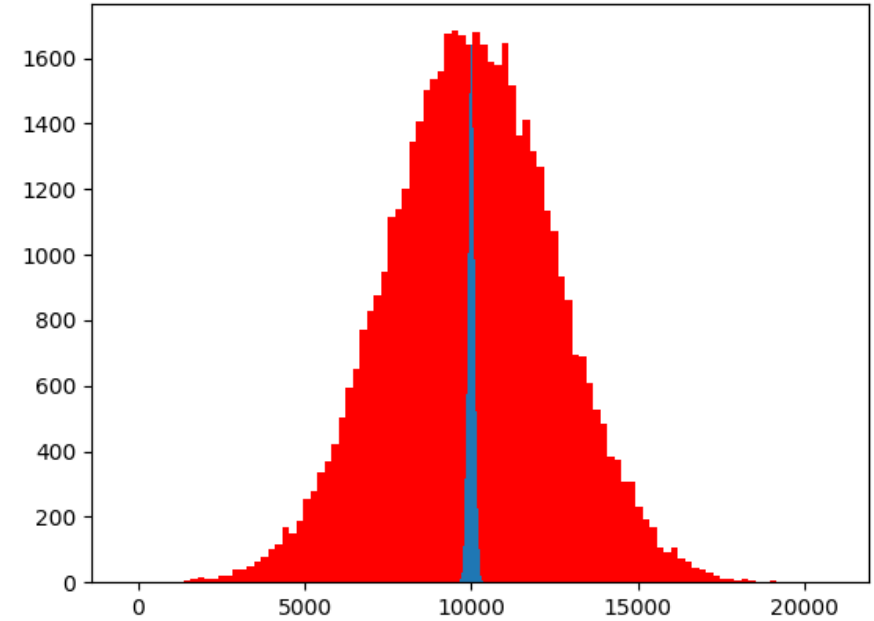
CV metod používaných v proteomice

DDA LFQ CV 25%



Násobná změna

- Přesnost kvantifikace klesá s klesající intenzitou
- Zdroje variability
 - technická variabilita
 - Příprava vzorku
 - Instrumentace



Teoretická distribuce s CV 1% - Modrá

Změřená kvantifikační metodou s CV 25%
Červená

Hodnota pValue v experimentu

- Pro každý protein samostatný t Test
- Tisíce testů na experiment
- P Value 0,05 říká, že v 5% je platná nulová hypotéza
 - Obdržíme falešně pozitivní výsledek
- Proteomická data
 - Problém vícenásobného testování
 - **Při 5000 testech můžeme dostat $5000 * 0,05 = 250$ falešně pozitivních výsledků**

Je použití fixní hodnoty správné?

Není

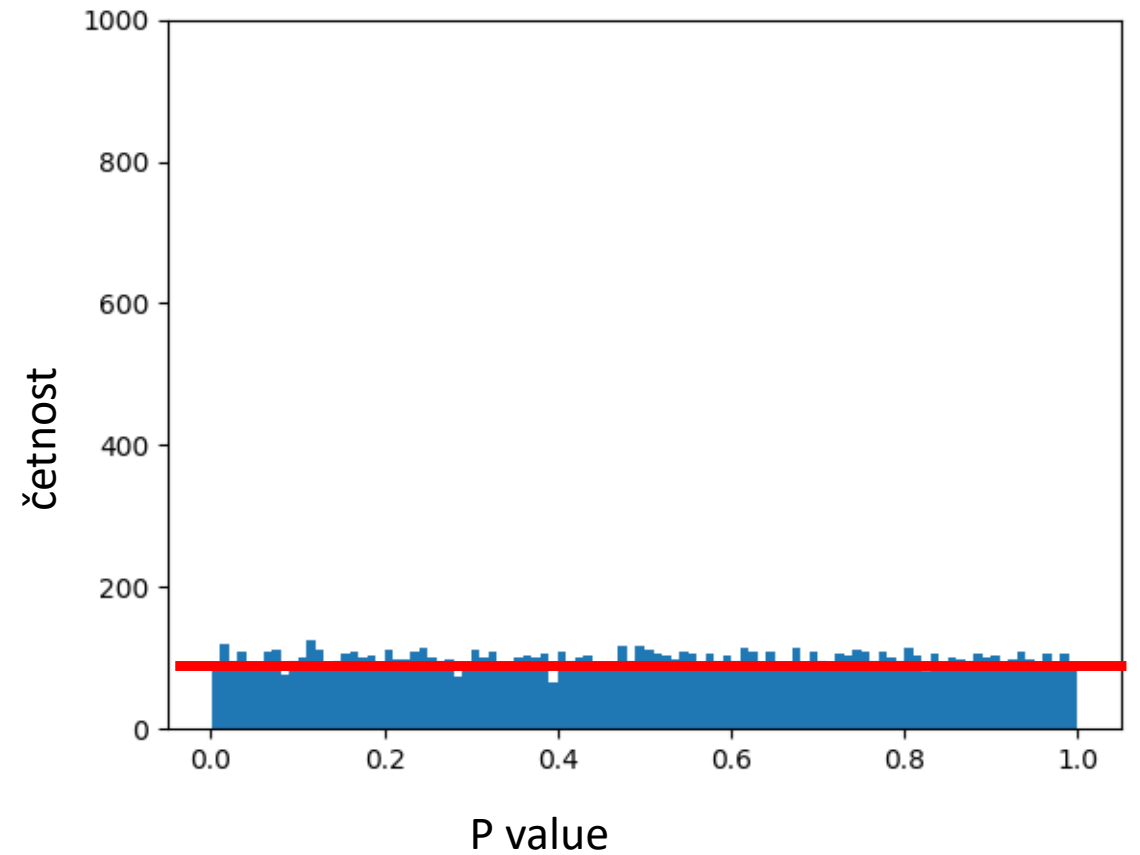
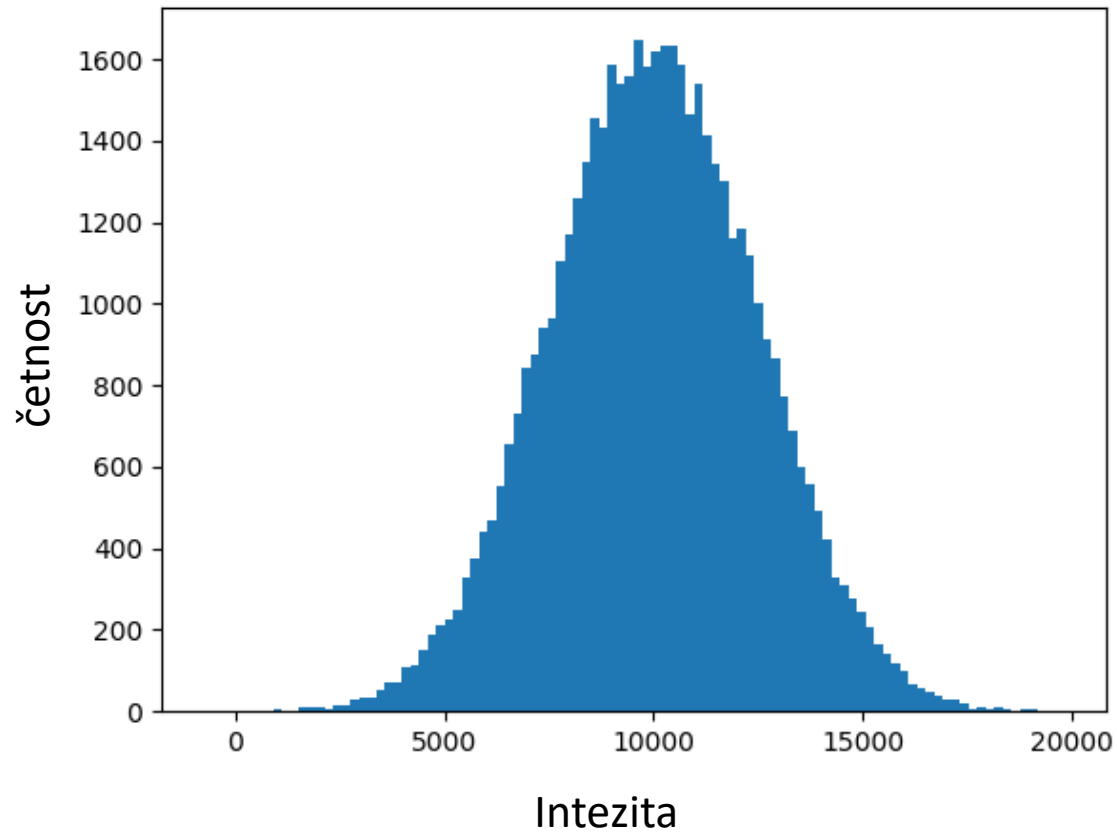
Při stovkách a tisících testů v rámci datasetu je třeba nástroj pro úpravu potřebné pValue

Bonferroni correction

- Nejstarší varianta
- dělení cílové pValue počtem testů $\rightarrow \alpha/m$
- Příklad 20 testů v rámci analýzy a $\alpha=0,05$
 - $0,05/20=0,0025$
- Velmi konzervativní, produkuje velké množství falešně negativních výsledků

Určení FDR výpočtem

10 000 výběrů tří a tři čísel -> výpočet pValue

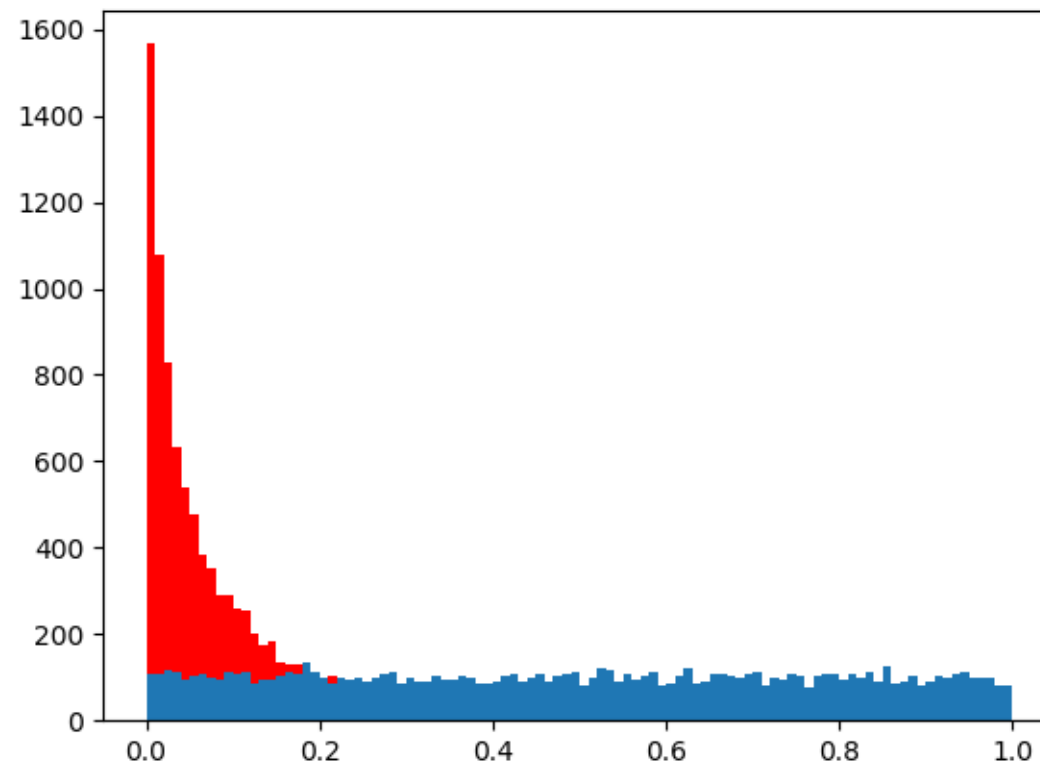
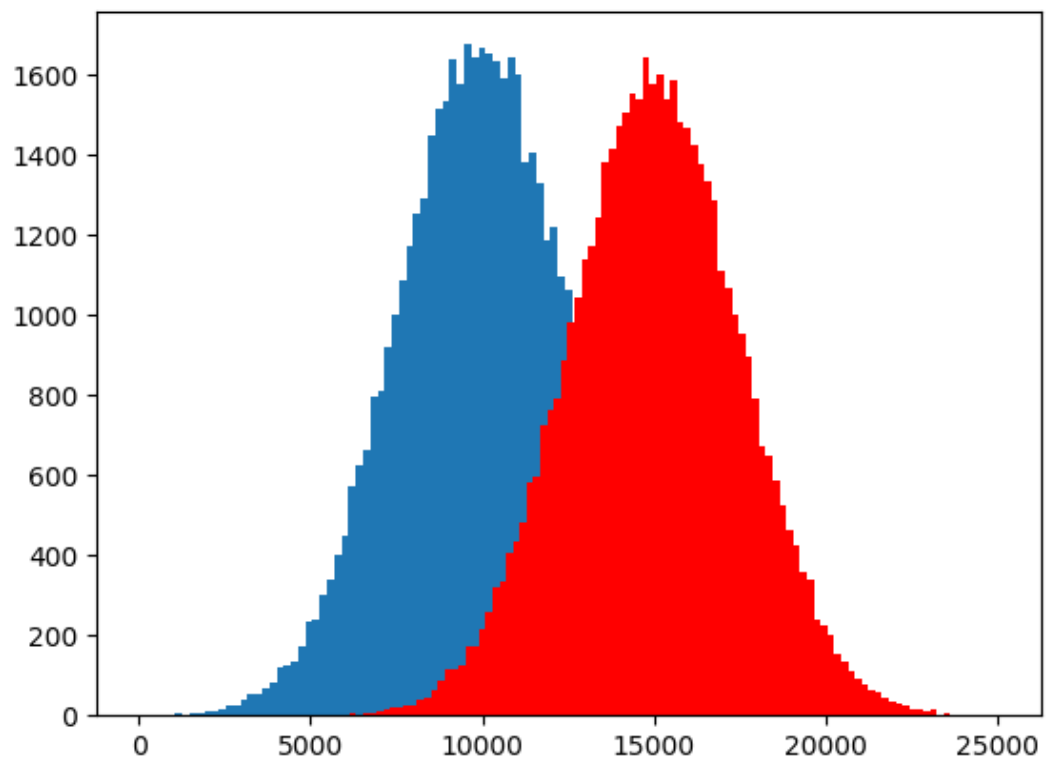


Modrá

10 000 výběrů tří a tří čísel z modré distribuce -> výpočet pValue

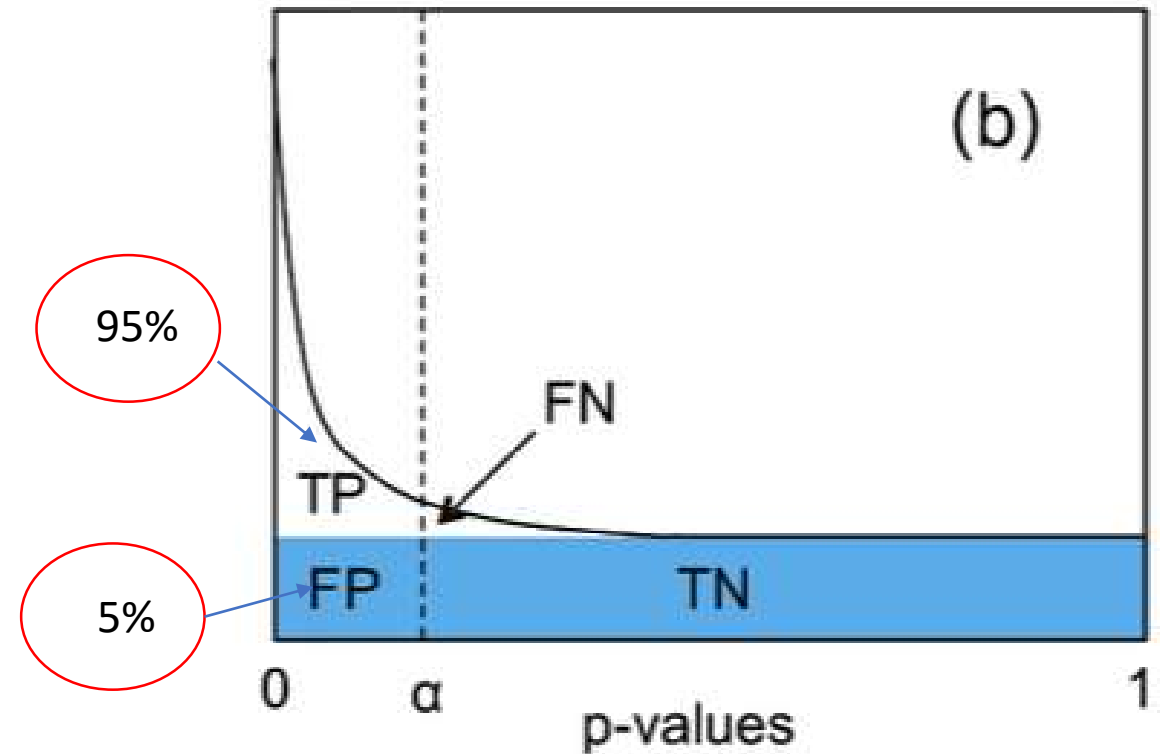
Červená

10 000 výběrů tří modrých a tří červených čísel -> výpočet pValue



FDR korigovaná pValue – permutation based

- Využití permutování dat
- Stovky až tisíce permutací
- Přímé určení Q value
- Citlivější než **Benjamini–Hochberg**



J. R. Statist. Soc. B (2002)
64, Part 3, pp. 479–498

A direct approach to false discovery rates

John D. Storey

Stanford University, USA

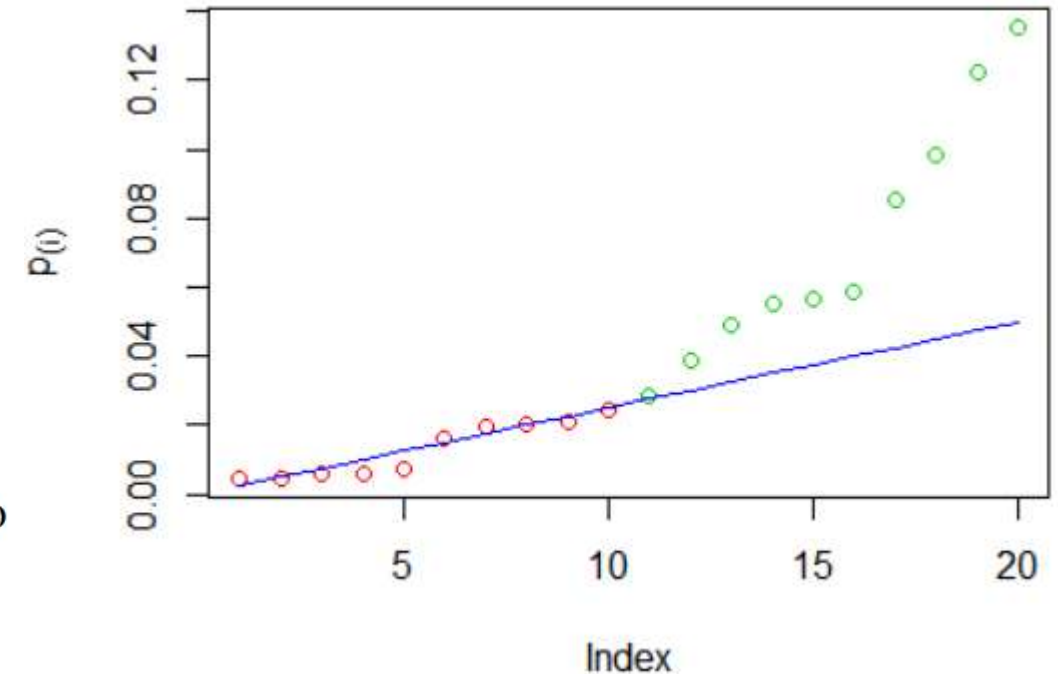
[Received June 2001. Revised December 2001]

<https://www.youtube.com/watch?v=T6J4b-WWebM>

Adjusted pValue
Benjamini–Hochberg

FDR korigovaná pValue - Benjamini–Hochberg

- Seřadíme všechny pValues vzestupně
- Hledá se průsečík hodnot a přímky se sklonem $\alpha/\text{počet testů}$
- Všechny pValues s pořadím nižším než pValue kde se obě vynesení protlnuly jsou považovány za signifikantní



JOURNAL ARTICLE

Controlling the False Discovery Rate: A Practical and Powerful Approach to Multiple Testing

Yoav Benjamini and Yosef Hochberg

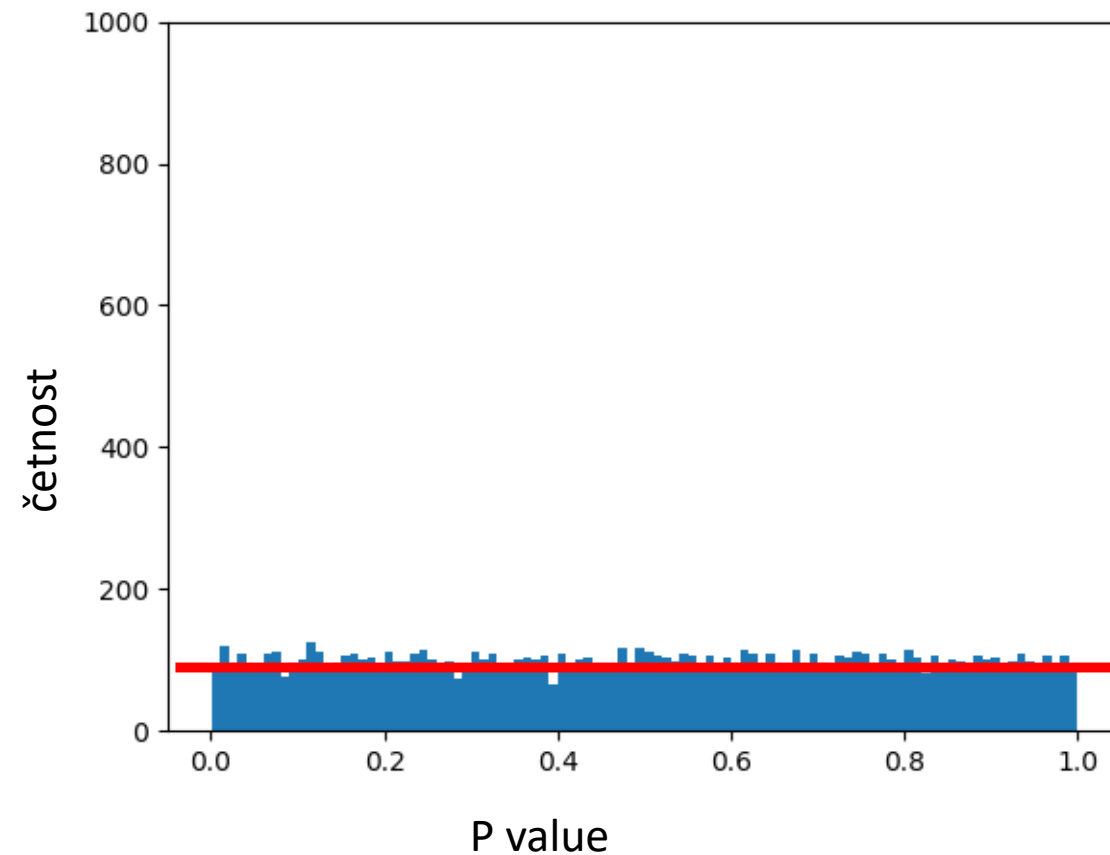
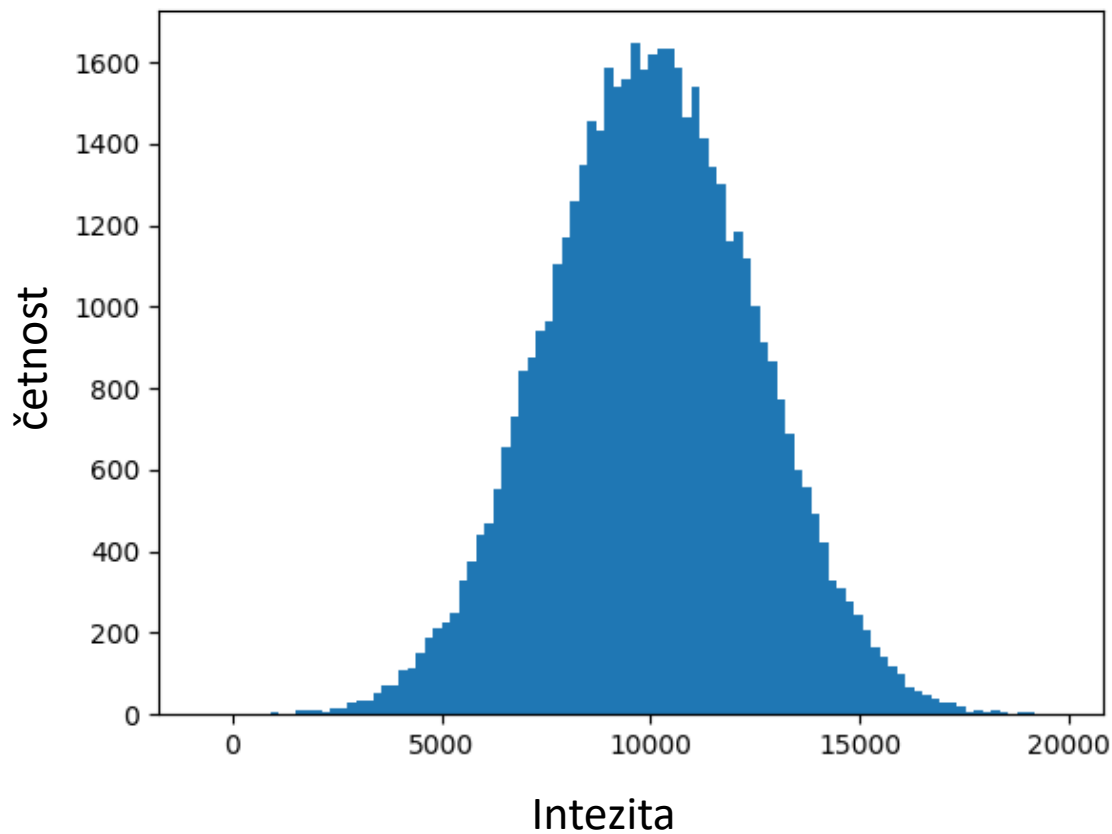
Journal of the Royal Statistical Society, Series B (Methodological)

Vol. 57, No. 1 (1995), pp. 289-300 (12 pages)

Published By: Oxford University Press

<https://www.youtube.com/watch?v=K8LQSVtjcEo>

10 výběrů tří a tří čísel -> výpočet pValue

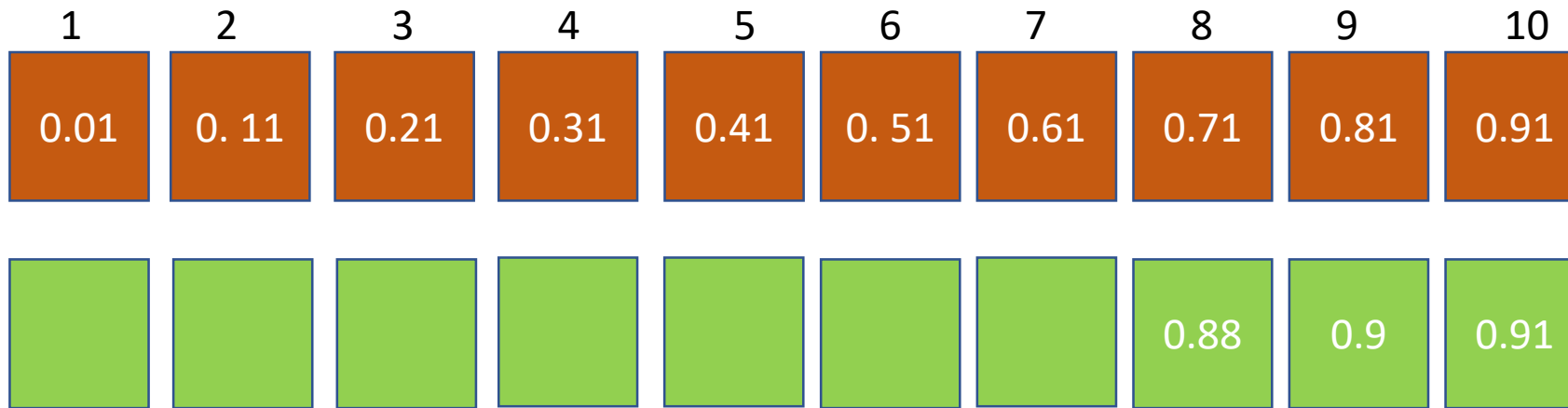


- 0.01
- 0.21
- 0.91
- 0.41
- 0.01
- 0.31
- 0.81
- 0.61
- 0.71
- 0.51



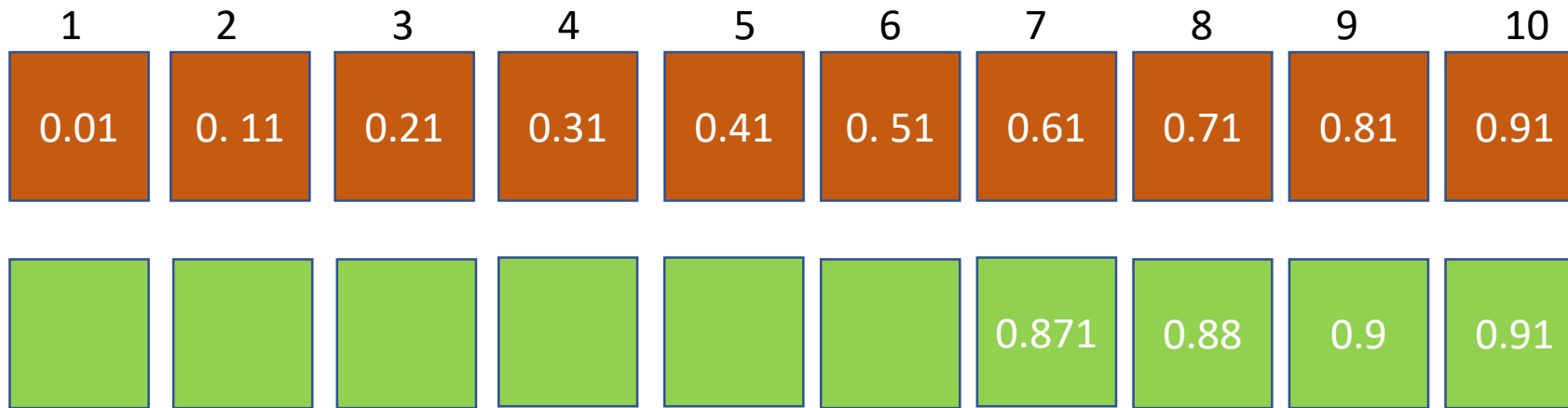
Menší z těchto dvou:

- 1) Předchozí upravená pValue 0.91
- 2) Aktuální pValue*(celkem pValue/pořadí aktuální pValue) $0.81 * (10/9) = 0.9$



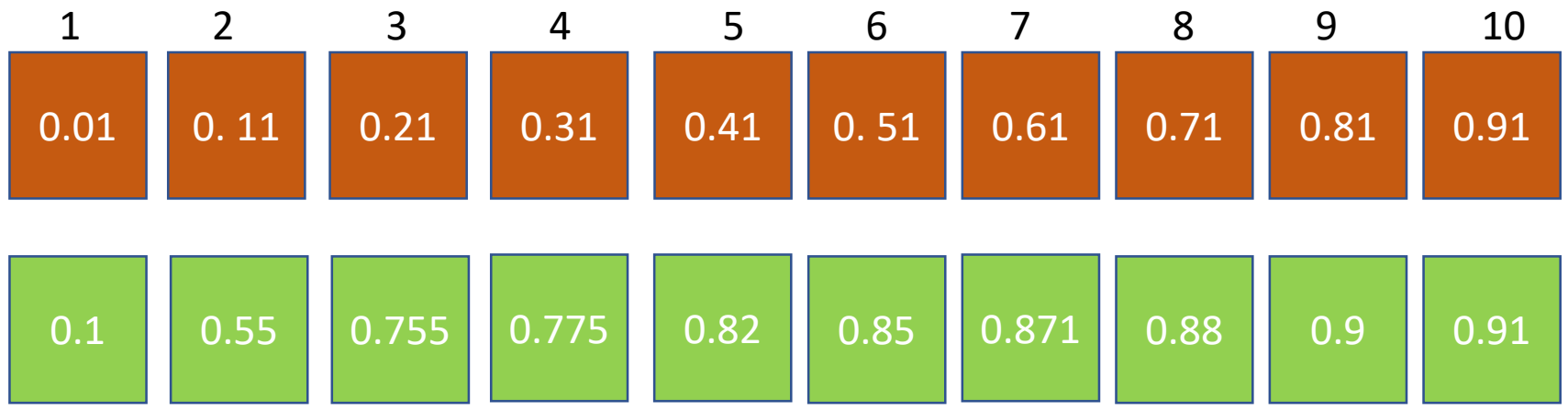
Menší z těchto dvou:

- 1) Předchozí upravená pValue 0.9
- 2) Aktuální pValue*(celkem pValue/pořadí aktuální pValue) $0.71 * (10/8) = 0.8875$



Menší z těchto dvou:

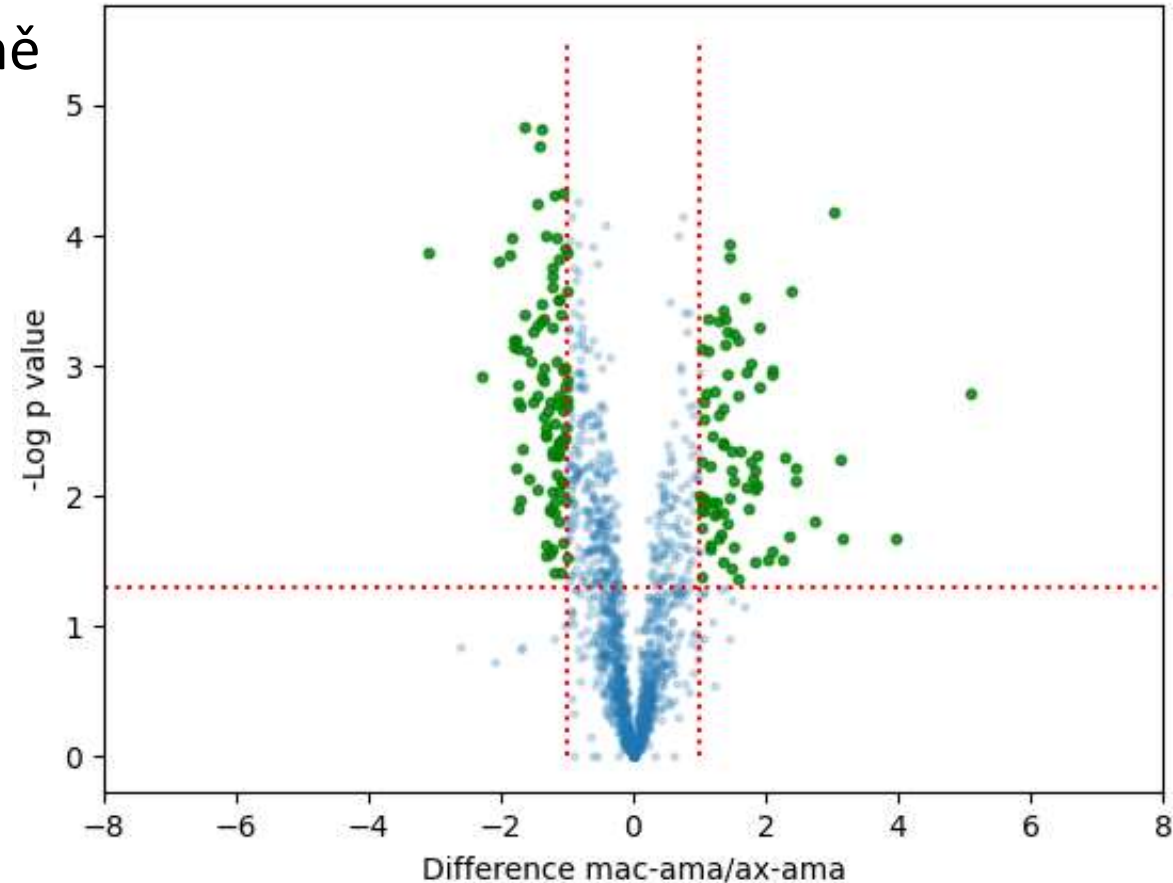
- 1) Předchozí upravená pValue 0.88
- 2) Aktuální pValue*(celkem pValue/pořadí aktuální pValue) $0.61 * (10/7) = 0.871$



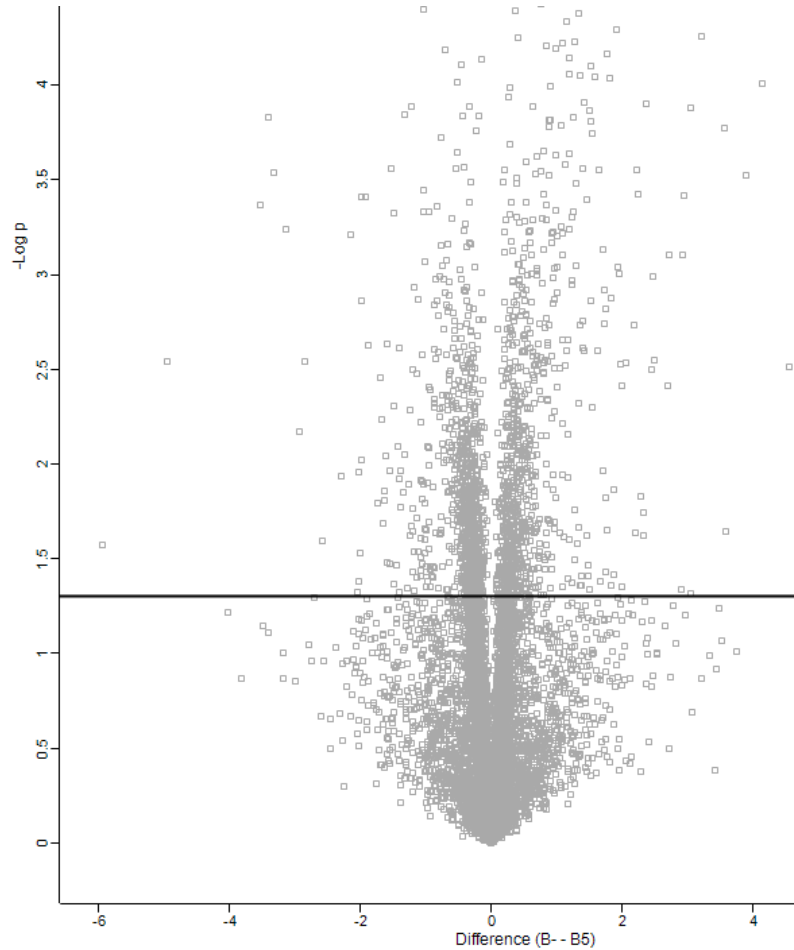
Volcano plot

Volcano plot

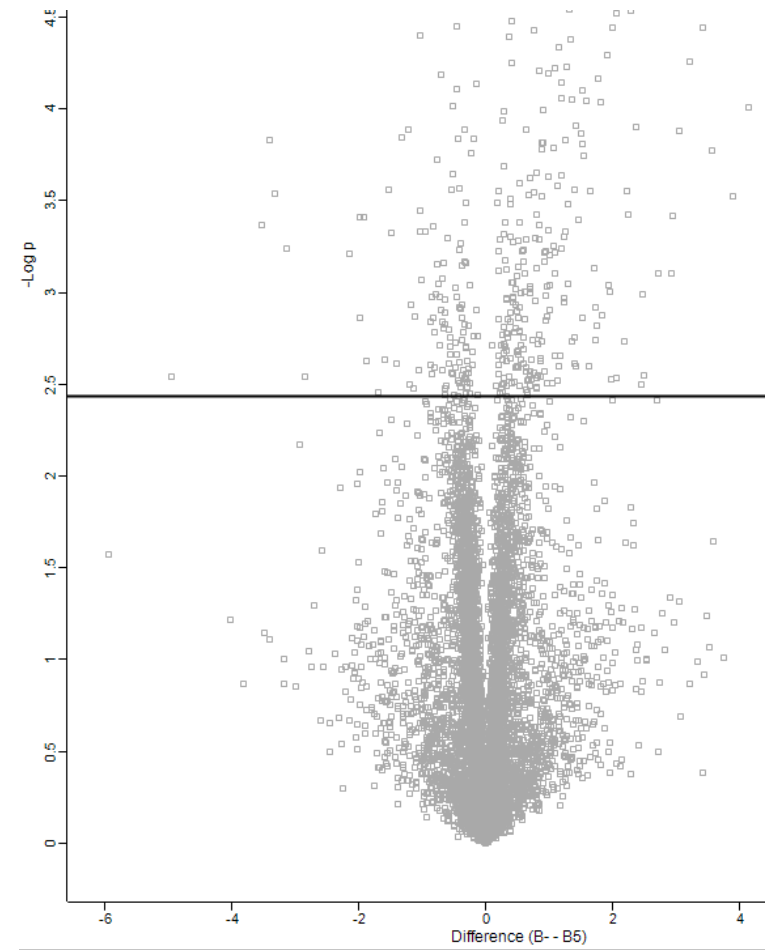
- Hladina significance – často používáno 0,05 a méně
- Pro účely vizualizace neprakticky nízké číslo
- Převedení na záporný logaritmus o základu 10
- 0,05 -> **1,3**
- Vynesení dat -> Volcano plot
 - Osa Y – pValue ($-\log_{10}$)
 - Osa X – relativní změna v logaritmu o základu 2
- Vynesení pValue 0,05 a rozdílu 2x
- Necílená proteomika není určena k detekci změn v nízkých desítkách procent
 - +/- **50%** je minimální realisticky zachytitelná změna



8148 kvantifikovaných proteinů



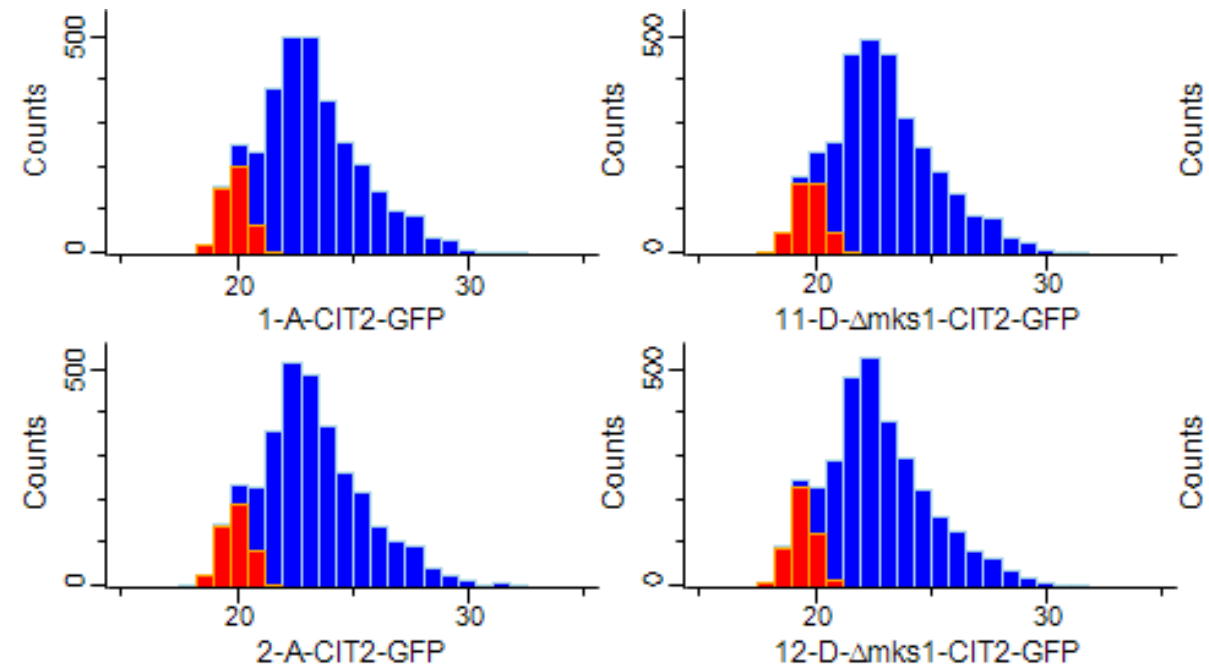
$\alpha=0,05$ **bez korekce**
1672 signifikantních

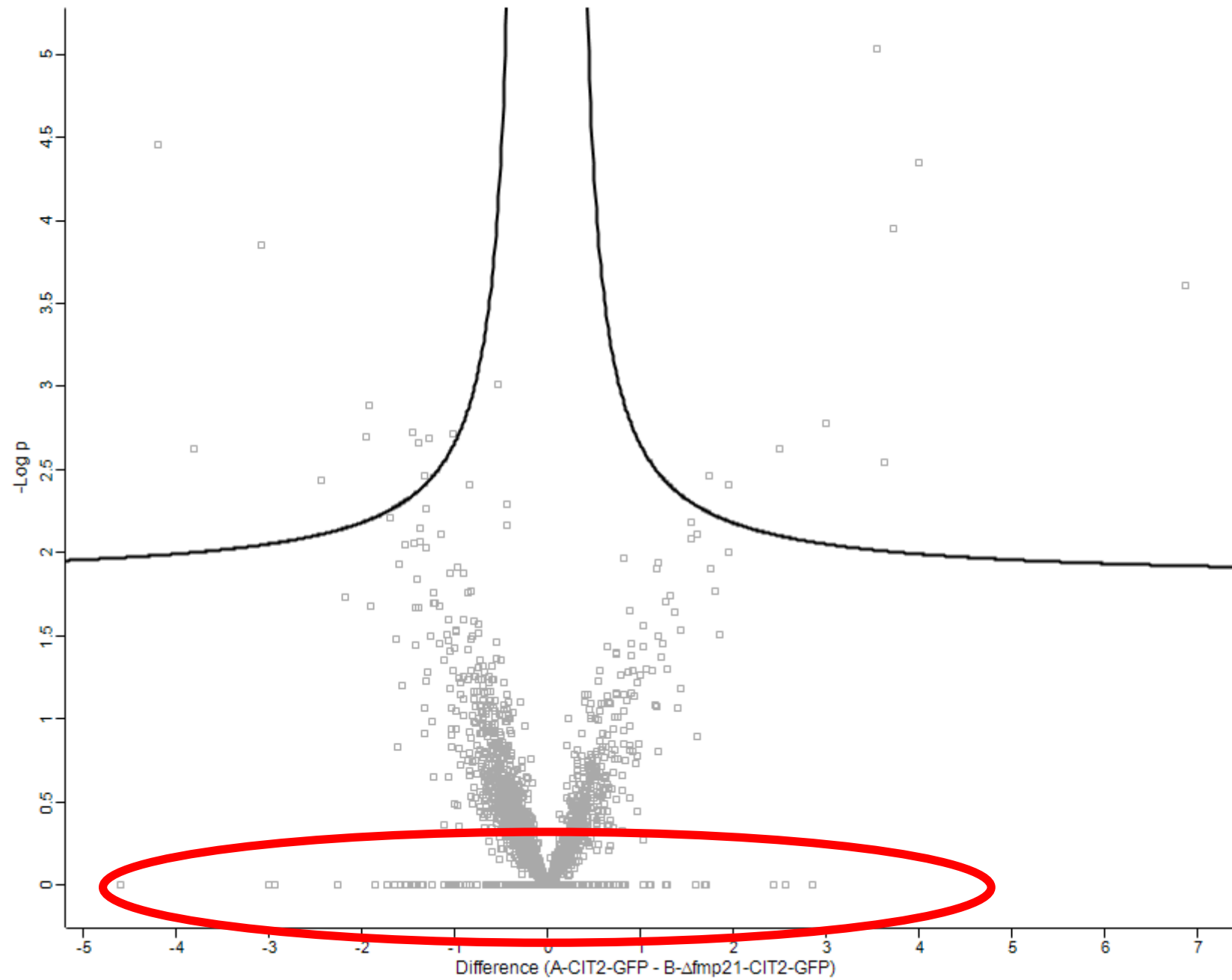


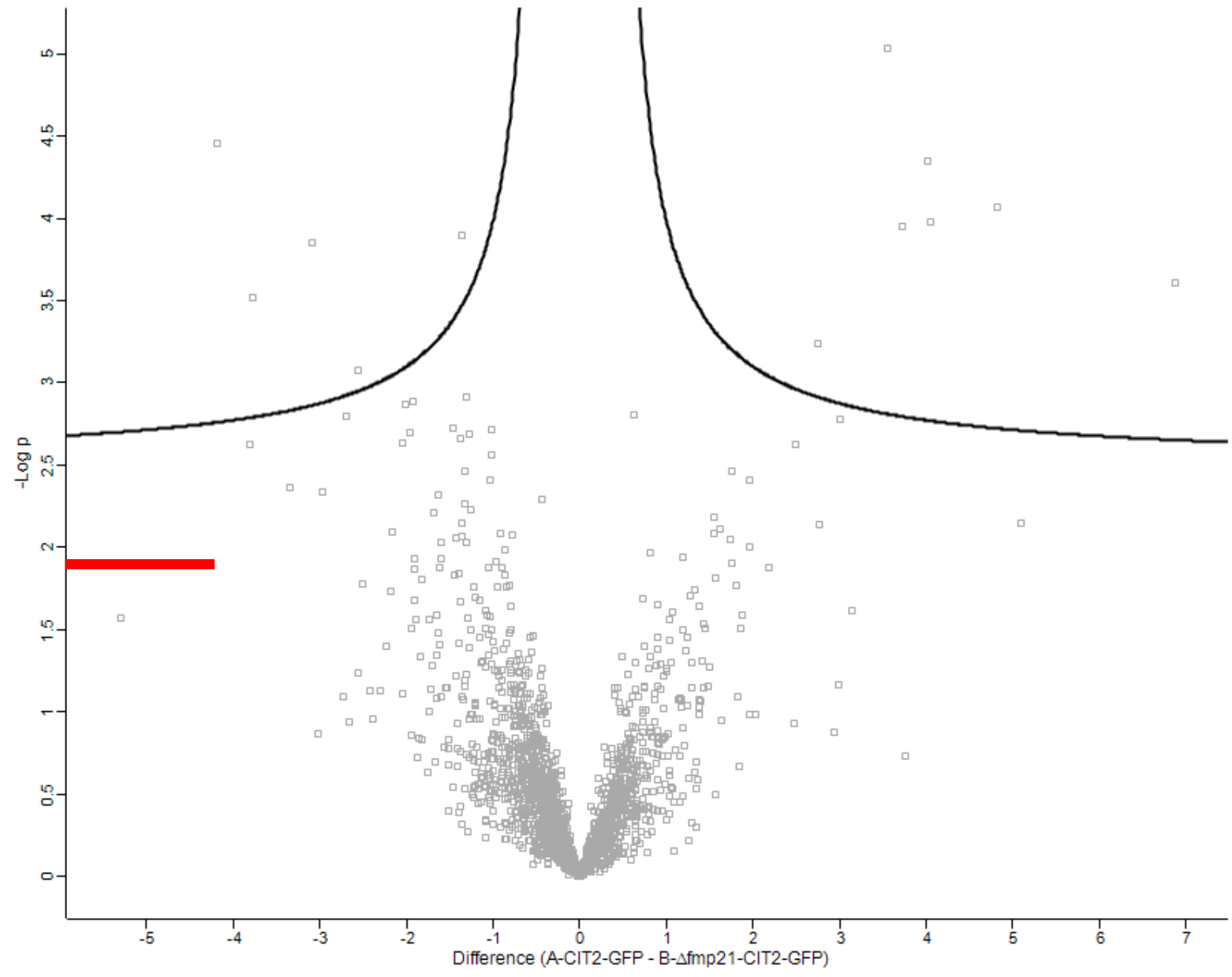
$\alpha=0,05$ **5% FDR korekce**
504 signifikantních

Chybějící hodnoty

- Část proteinů nemá kvantifikační hodnotu ve všech vzorcích
- Množství závisí na použité metodě měření
- Neexistuje ideální řešení
- Pro statistické zpracování je třeba hodnoty doplnit
- Doplnění vnese do dat šum
- Nejvhodnější je doplnit hodnoty na hranici citlivosti měření







Metody redukující dimenzionalitu dat

Lineární

unsupervised

PCA - *Principal Component Analysis*

supervised

LDA - **Linear Discriminant analysis**

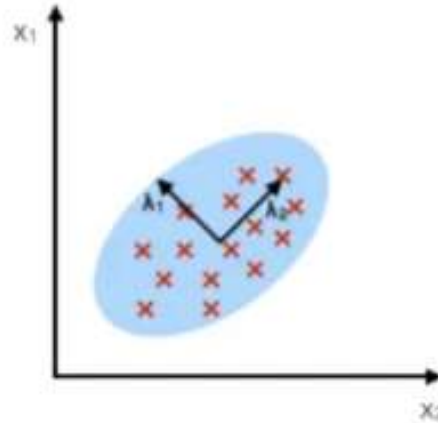
PLS-da - **Partial Least Squares discriminant analysis**

sPLS-da - **Sparse Partial Least Squares discriminant analysis**

PCA x LDA

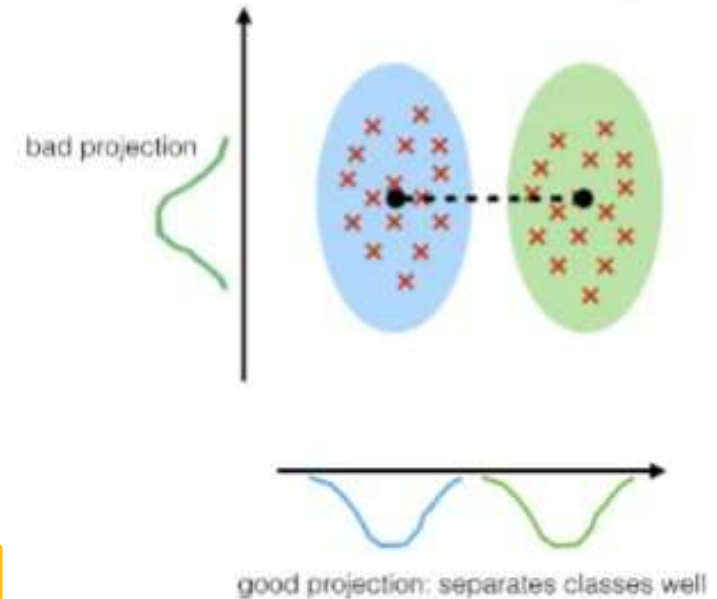
PCA:

component axes that maximize the variance



LDA:

maximizing the component axes for class-separation



-Supervised metody - zadáváme které vzorky tvoří dohromady skupiny

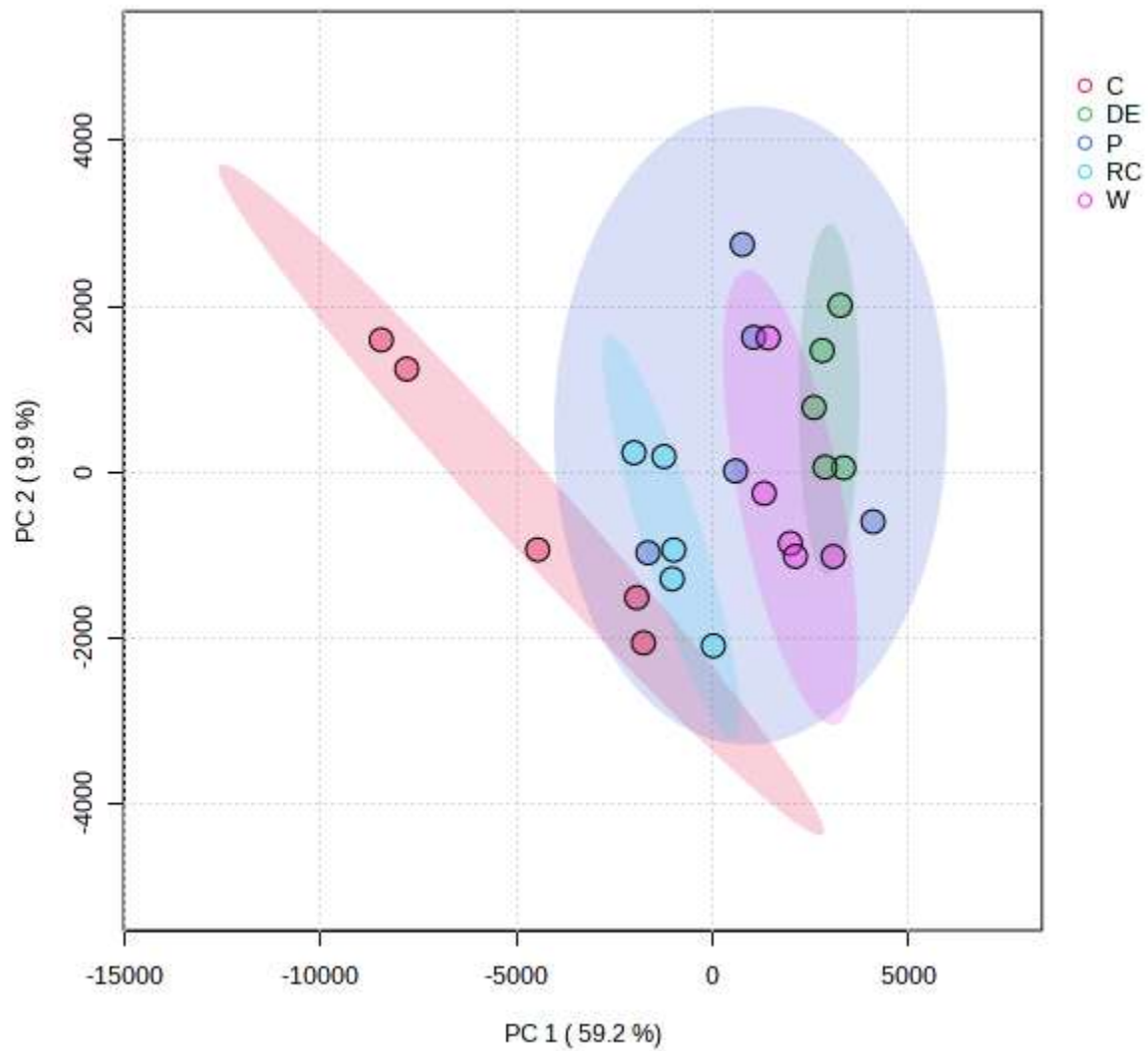
-LDA zvýrazní to v čem se vzorky liší

- Analýza identifikuje proteiny zodpovědné za separaci vzorků,
 - Vizualizace dat
 - Identifikace proteinů zodpovědných za separaci vzorků

Shodná data

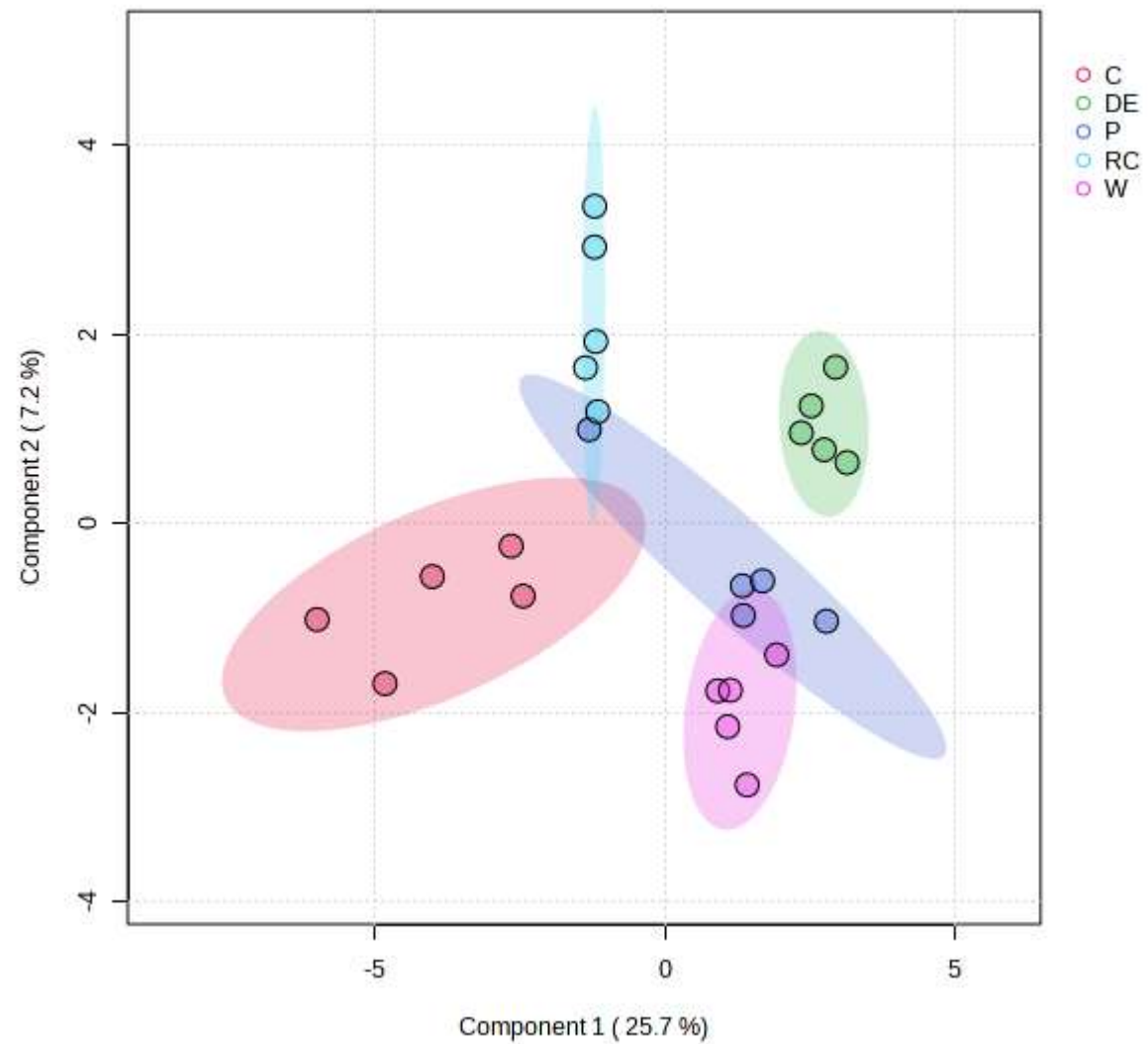
PCA

Scores Plot



sPLS-DA

Scores Plot



Funkční Anotace proteinů

Molecular function

Cellular component

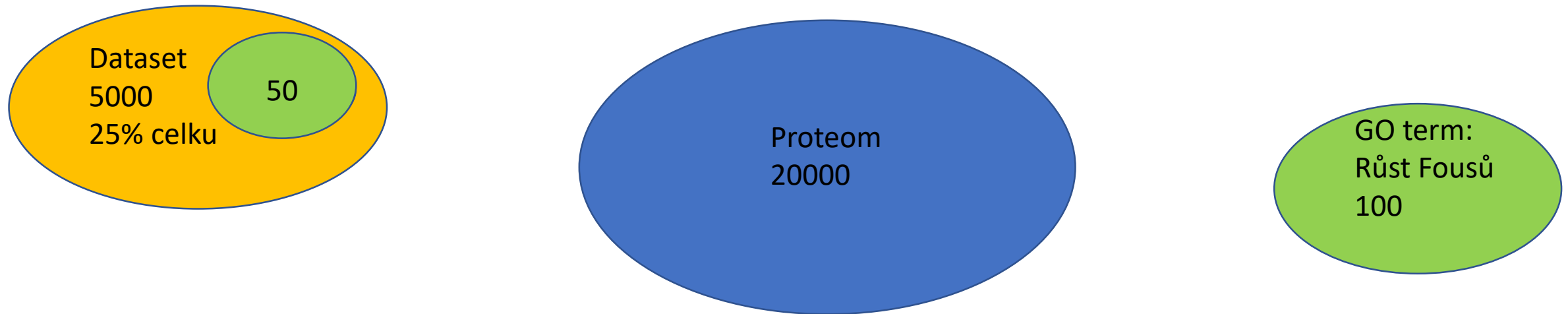
Biological process

C: GOBP name	C: GOMF name	C: GOCC name	C: KEGG name
Category	Category	Category	Category
cellular macromolecule metabolic process;cellular...	adenyl nucleotide binding;adenyl ribo...	cell part;cytoplasmic part;intracellular membrane-bounded organelle;...	Zeatin biosynthesis
ameboidal cell migration;anatomical structure deve...	apolipoprotein binding;binding;cargo r...	cell body;cell part;cell surface;cytoplasmic part;cytoplasmic vesicle;e...	Wnt signaling pathway
anatomical structure formation involved in morpho...	binding;cation binding;ion binding;me...	cell part;cytoplasmic part;cytosol;intracellular membrane-bounded or...	Wnt signaling pathway
anatomical structure development;ATP-dependen...	adenyl nucleotide binding;adenyl ribo...	cell part;histone methyltransferase complex;intracellular membrane-b...	Wnt signaling pathway
biological regulation;biosynthetic process;canonica...	beta-catenin binding;binding;DNA bin...	cell part;cytoskeletal part;intracellular membrane-bounded organelle;...	Wnt signaling pathway
biological regulation;biosynthetic process;canonica...	beta-catenin binding;binding;DNA bin...	cell part;cytoskeletal part;intracellular membrane-bounded organelle;...	Wnt signaling pathway
cell projection organization;cellular component org...	binding;cation binding;ion binding;me...	apicolateral plasma membrane;cell part;cytoplasm;intracellular organ...	Wnt signaling pathway
aging;biological regulation;cardiac cell differenti...	binding;identical protein binding;prote...	beta-catenin destruction complex;cell body;cell part;cell projection;cy...	Wnt signaling pathway
actin cytoskeleton organization;actin filament-base...	binding;identical protein binding;prote...	actin filament bundle;actomyosin;cell part;cytoplasm;cytoplasmic par...	Wnt signaling pathway

Zdroje anotací

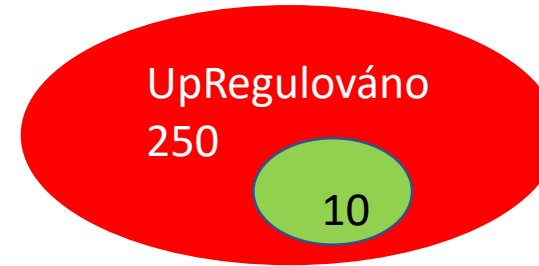
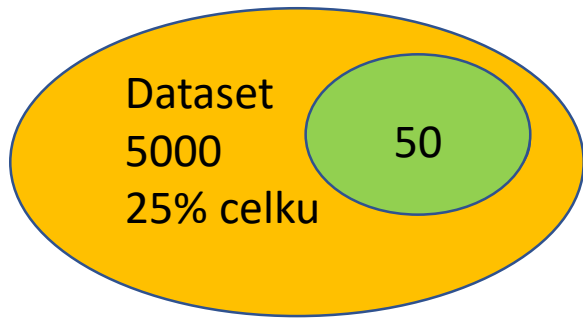
- Rozsáhlé zdroje informací nad rámec FASTA databáze
- Modelové organismy dobře pokryté
- Mnoho různých databází
 - **KEGG - KEGG: Kyoto Encyclopedia of Genes and Genomes**
 - <https://www.genome.jp/kegg/>
 - <https://geneontology.org/>
- Někdy nejasná kvalita anotací

Gene Ontology (GO) term enrichment



- Fischer exact test – statistický nástroj pro GO term **enrichment**
- GSEA – Gene Set Enrichment Analysis
 - <https://www.gsea-msigdb.org/gsea/index.jsp>
 - Software
 - Integrované anotační zdroje
 - Sofistikovanější metoda určení nabohacení

Gene Ontology (GO) term enrichment



- Fischer exact test – statistický nástroj pro GO term **enrichment**
- GSEA – Gene Set Enrichment Analysis
 - <https://www.gsea-msigdb.org/gsea/index.jsp>
 - Software
 - Integrované anotační zdroje
 - Sofistikovanější metoda určení nabohacení

StatQuest with Josh Starmer

<https://www.youtube.com/channel/UCtYLUtTgS3k1Fg4y5tAhLbw>



StatQuest with Josh Starmer ✓

@statquest · 1,03 mil. odběratelů · 265 videí

Statistics, Machine Learning and Data Science can sometimes seem like very scary topics,...

patreon.com/statquest a 4 další odkazy

Odebírat

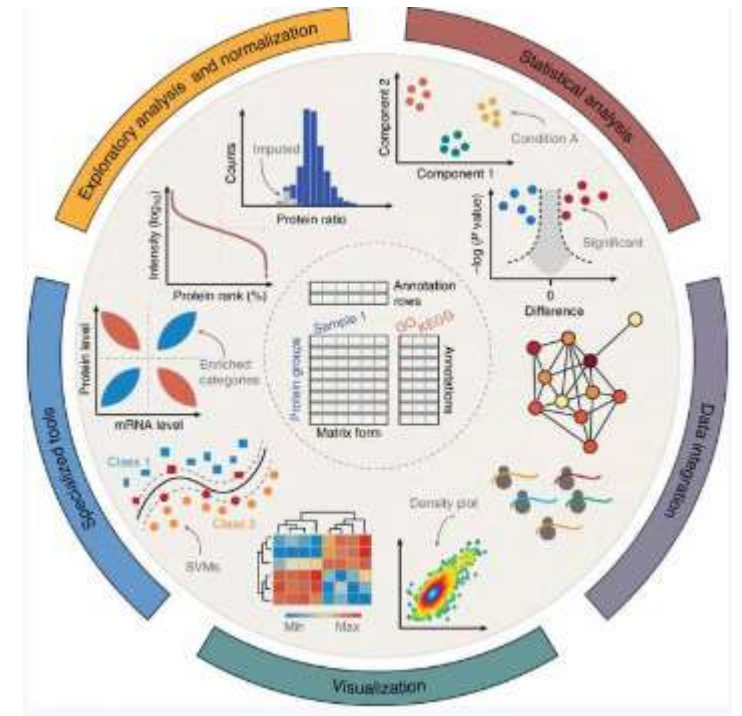
Připojit se

Nástroje

- Omezeně Excel
- Python
- R

- Perseus
 - zpřístupňuje v grafickém rozhraní vše co je potřeba pro analýzu
 - Není nutné skriptovat
 - <https://maxquant.net/perseus/>
 - Mnoho výukových videomateriálů
 - <https://www.youtube.com/c/MaxQuantChannel>

- MetaboAnalyst
 - webová aplikace primárně určená k analýze metabolomických dat.



<https://www.metaboanalyst.ca>

Single cell proteomics

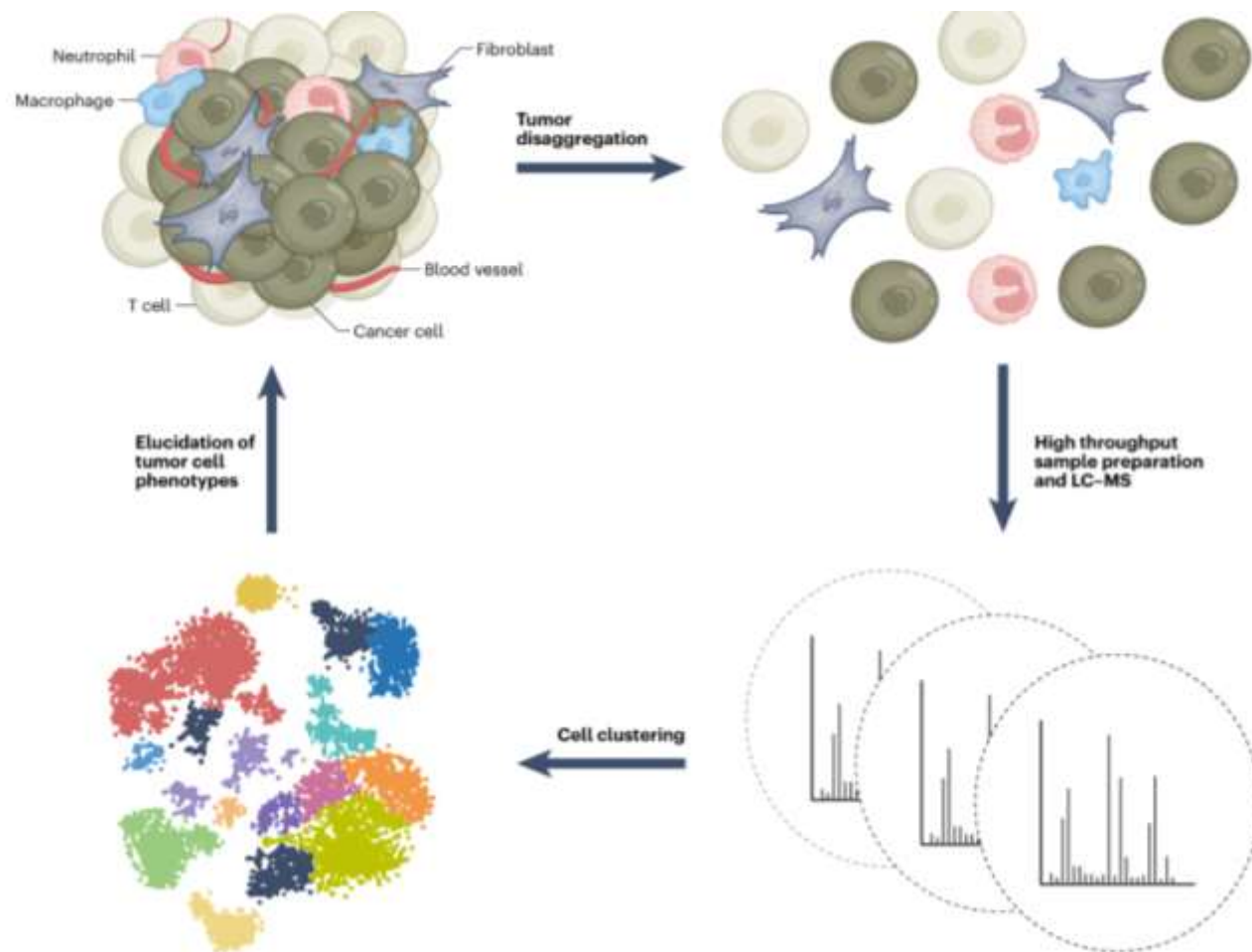
Proč single cell

Tkáň je tvořena mnoha druhy buněk

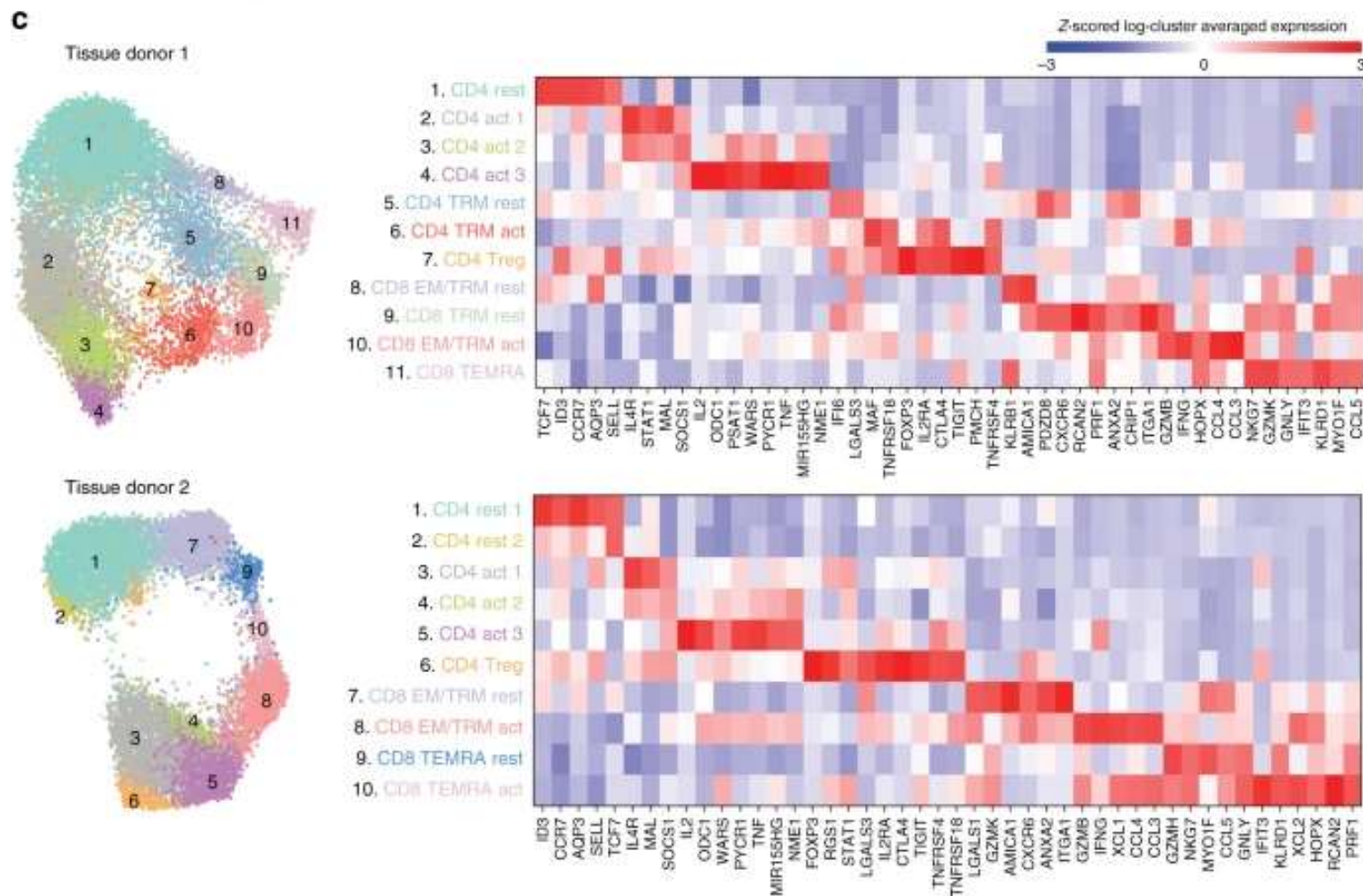
V buněčné kultuře existují subpopulace buněk

Dobře dokumentováno single cell RNA sekvenováním

Použití pro charakterizaci subpopulací buněk



Single cell RNA – příklad využití



C Identification of T cell subpopulations. UMAP embeddings colored by expression cluster along with heatmaps showing z-scored average expression of curated T cell subset marker genes that had a fold change >2 and $p < 0.05$ by the binomial test for at least one cluster.

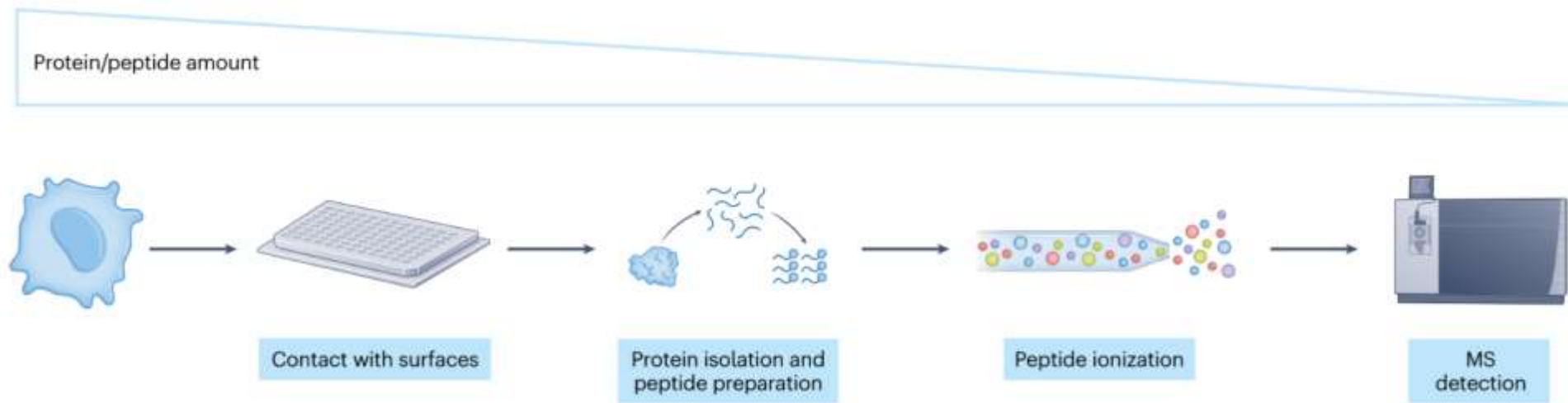
Limity a možnosti MS single cell

RNA sekvenování

- Amplifikační krok v průběhu analýzy
- Vysoký multiplexing
 - Desetitisíce buněk v rámci jedné analýzy
- Zavedená metoda, dostatek informací
- Komerčně dostupné systémy pro celý proces

MS based proteomika

- Absence amplifikačního kroku
 - Nízká Citlivost
- Žádný a nebo nízký multiplexing
 - Jedna buňka – jedna analýza
 - Maximálně desítky buněk denně



500pg proteinu v jedné buňce

Většina je ztracena
při přípravě vzorku

X

Optimální nástřik 100ng-1ug

200 x více



Slavov Laboratory | Quantitative Biology

Seeking principles

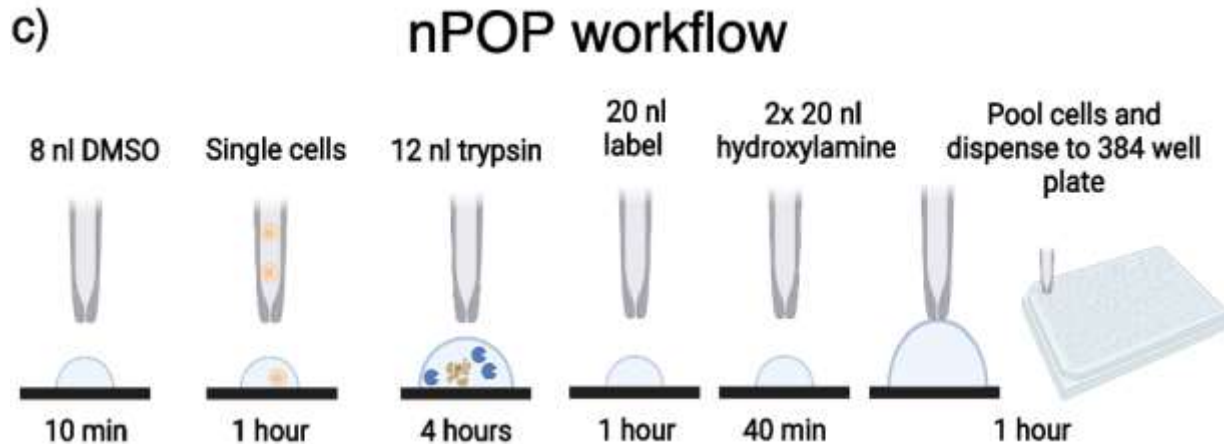
in the coordination among protein synthesis, metabolism, cell growth and differentiation



<https://slavovlab.net/>

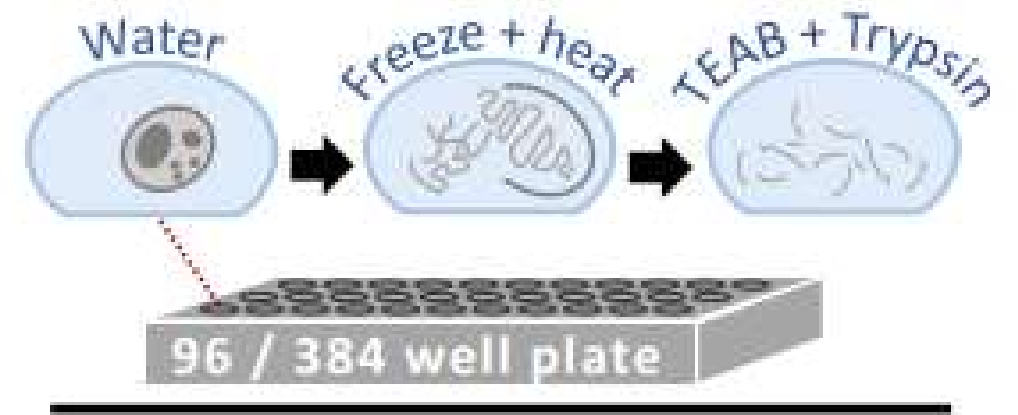
<https://scp.slavovlab.net/> Protokoly a metody

Příprava vzorku - na sklíčku



Droplet sample preparation for single-cell proteomics applied to the cell cycle, Slavov , 2021

Příprava vzorku - v jamce



Automated sample preparation for high-throughput single-cell proteomics, Slavov 2018

Vynechat detergenty

Omezit objem

Omezit pipetování a přenášení vzorku

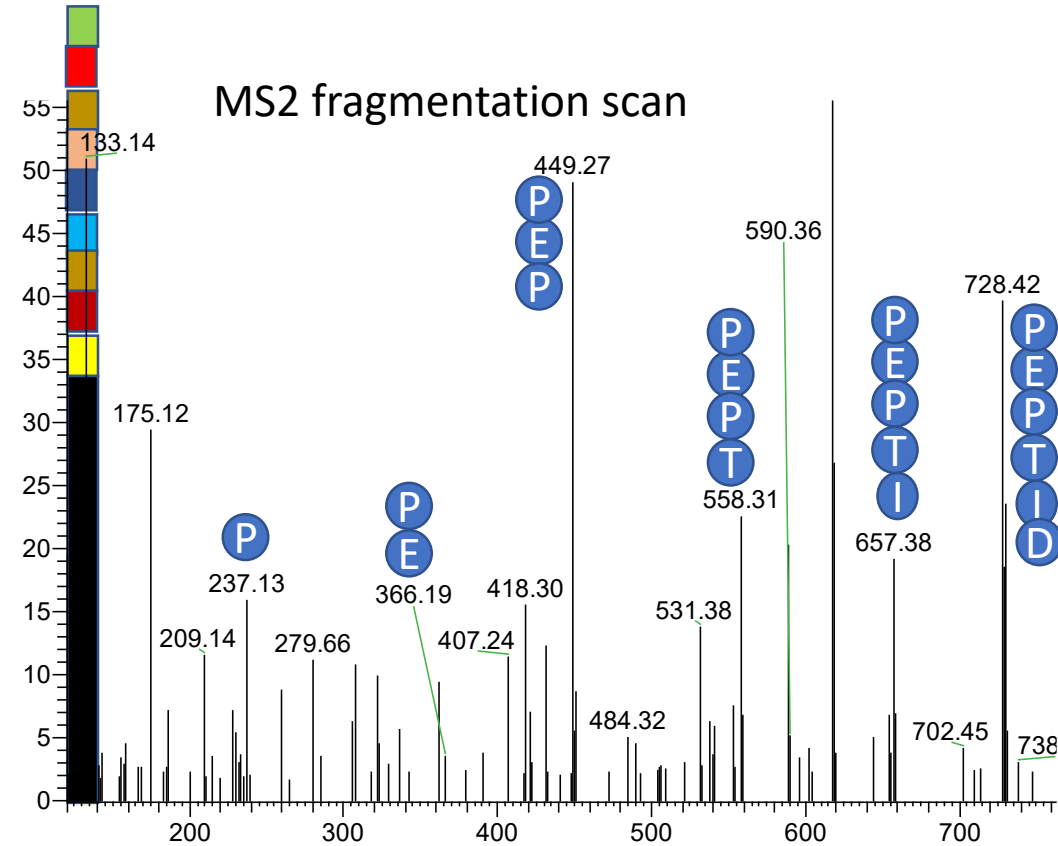
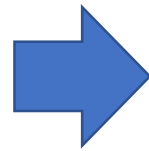
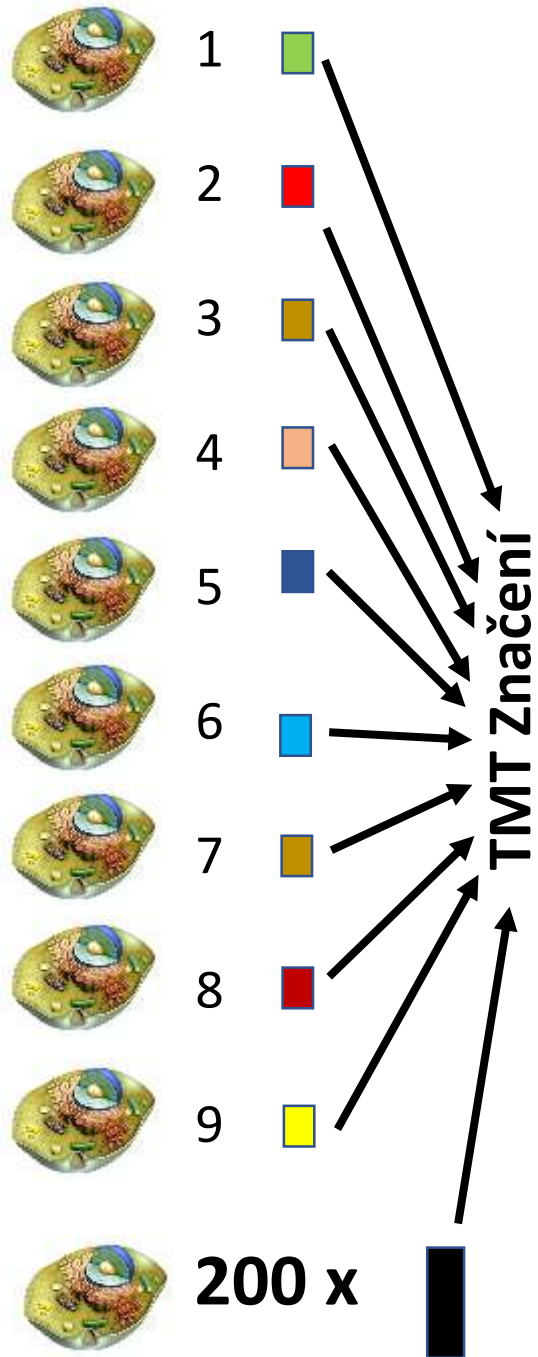
Jen přidávat ke vzorku chemikálie
a pak vzorek rovnou nastříknout

Citlivost a množství vzorků

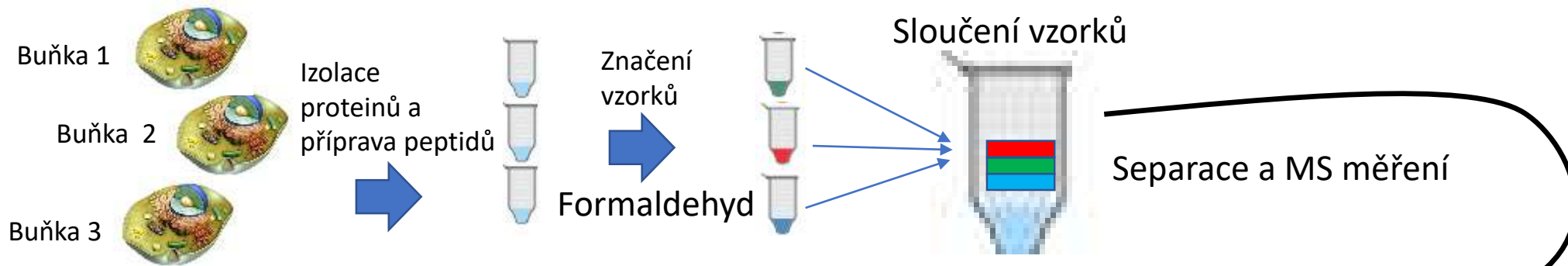
Technologické výzvy

řešení multiplexingem

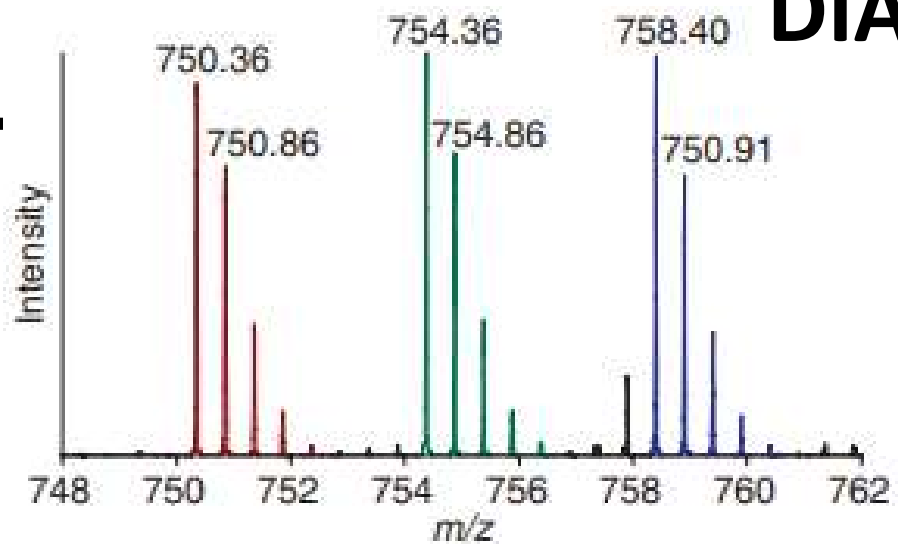
Isobarické značení , Carrier channel



18 plex – 500 až 1000 buněk/den



DIA akvizice



Di-methylace

3 buňky na analýzu, 200 buněk/den